

ОПД.Ф.02.02 СОПРОТИВЛЕНИЕ МАТЕРИАЛОВ

Методическое пособие к выполнению курсовых и контрольных работ
для студентов-заочников строительных специальностей

Приведены основные вопросы и варианты заданий по курсу «Сопротивление материалов». Практическая часть представлена некоторыми взаимосвязанными задачами. Даны примеры решения типовых задач.

Оглавление

Общие указания по выполнению курсовых работ	4
Вопросы к разделам курса.....	6
Задания к курсовой и контрольным работам.....	12
Примеры решения задач	24
БИБЛИОГРАФИЧЕСКИЙ СПИСОК	56

Общие указания по выполнению курсовых работ

Сопротивление материалов – наука о прочности, жёсткости и устойчивости при условии надёжности элементов инженерных конструкций. Методами сопротивления материалов ведутся практические расчёты и определяются *надёжные* размеры деталей машин, различных конструкций и сооружений. Под *надёжностью* понимают способность либо конструкции в целом, либо отдельных конструктивных элементов выполнять заданные функции, сохраняя свои эксплуатационные показатели в определённых нормативных пределах в течение требуемого промежутка времени.

Процесс получения знаний по курсу сопротивления материалов студентами - заочниками складывается из самостоятельного изучения разделов курса по учебникам с составлением конспектов, разбора и решения задач, приведённых в сборниках задач по сопротивлению материалов (как правило, в задачниках имеются рекомендации по решению или примеры решения; наряду с этим, в конце каждой главы учебника приводятся характерные для изучаемой темы задачи с подробным описанием их решения). В случае затруднений при освоении материала студент может получить, в зависимости от возможности, письменную или устную консультацию.

Выполнение предлагаемых курсовой работы либо контрольных заданий (в зависимости от требований, предъявляемых учебным планом) позволяет студенту закрепить и систематизировать самостоятельно освоенный материал. Задание представляет собой совокупность типовых задач (в ряде случаев взаимосвязанных) и вопросов, соответствующих изучаемым разделам дисциплины. Объём задания для конкретной специальности определяется числом разделов и детальностью их изучения, что напрямую связано с количеством задач и вопросов. В таблице 1 приведены номера задач, входящих в состав курсовых и контрольных работ в соответствии с названием специальности и согласно учебному плану.

Исходные данные на проектирование приводятся в вариантах заданий и выбираются из таблиц в соответствии со своим личным номером (шифром) студенческого билета – последними шестью цифрами шифра и первыми шестью буквами русского алфавита, которые следует располагать под шифром.

Например, шифр студента ПГС – 06120254

цифры – 1 2 0 2 5 4

буквы - а б в г д е

Первые две цифры, соответствующие году зачисления студента в университет, не учитываются.

Из каждого вертикального столбца любой таблицы, обозначенного снизу соответствующей буквой, надо взять только одно число, стоящее в горизонтальной строке с таким же номером, как у буквы. Например, букве «д» соответствует номер «5».

Так приведённому шифру соответствуют следующие данные для третьей задачи (рис. 4, табл. 4):

	схема IV	(буква «е» - цифра «4»)
швеллер	№10	(буква «в» - цифра «0»)
дутавр	№16	(буква «е» - цифра «4»)
размеры	$h = 22 \text{ см}$	(буква «д» - цифра «5»)
	$b = 0.5 \text{ см}$	(буква «г» - цифра «2»)

Остальные данные – общие для всех вариантов – приведены в тексте задачи.

Таблица 1

№	Специальность	Вид самостоятельной работы	Номера задач
1	ПГС	Курс. работа	1; 2; 3; 4; 5; 6; 7; 8
2	ГСХ	Контр. работы № 1-4	1; 2; 3; 4; 5; 6; 7; 8
3	ЭУН, ЭУС, ВВ	Контр. работа № 1	1; 4; 6; 7

При наличии ошибок допускаются исправления на отдельных листах, которые должны быть вложены в соответствующие места рецензированной работы. После устранения ошибок производится защита каждой работы, при этом учитываются теоретические знания студента по разделу и способность применять их к решению конкретных практических задач. При неудовлетворительной оценке работы студенту предлагается повторная защита.

Курс сопротивления материалов, рекомендуемый для строительных специальностей, включает в себя следующие основные разделы:

1. Введение. Основные понятия: деформация, гипотезы о деформируемом теле, внешние силы, метод сечений, внутренние силы и напряжения (/1/, гл.1; /2/, гл.1, 2; /3/, гл.1).
2. Растяжение, сжатие (/1/, гл.2; /2/, гл.3; /3/, гл.3).
3. Геометрические характеристики плоских сечений (/1/, гл.5; /2/, гл.4; /3/, гл.2).
4. Теория напряжённого состояния. Теории прочности (/1/, гл.3, 8; /2/, гл.13, 14; /3/, гл.4).
5. Сдвиг, кручение (/1/, гл.4, 6; /2/, гл.5; /3/, гл.5).
6. Изгиб прямых брусьев (/1/, гл.7; /2/, гл.6, 7, 8; /3/, гл.7, 8).
7. Сложное сопротивление (/1/, гл.9; /2/, гл.6; /3/, гл.11).
8. Общие методы определения перемещений (/1/, гл.11; /2/, гл.8; /3/, гл.8).
9. Статически неопределенные системы (/2/, гл.9; /3/, гл.10).
10. Устойчивость сжатых стержней (/1/, гл.13; /2/, гл.15; /3/, гл.13).
11. Расчёт на прочность при циклическом изменении напряжений (/1/, гл.15; /2/, гл.19; /3/, гл.14).
12. Динамическая нагрузка (/1/, гл.14; /2/, гл.17; /3/, гл.14).

Вопросы к разделам курса

1. Введение. Основные понятия

1. Каковы задачи сопротивления материалов?
2. Каковы основные допущения (гипотезы) науки о сопротивлении материалов? (/1/)
3. Что такое расчётная схема реальной конструкции? (/1/) (Схематизация геометрической формы конструктивных элементов; классификация сил, действующих на конструктивные элементы; схематизация свойств материала).
4. Что понимают в курсе сопротивления материалов под внутренними силами или усилиями?
5. Компоненты главного вектора и главного момента внутренних сил, их наименования. (/1/, §1.3; /2/, §1.4; /3/, §1.5)
6. Что такое метод сечения? Для чего и каким образом он используется? (/1/, §1.3; /2/, §1.4; /3/, §1.5)

7. Что такое напряжение? Какие напряжения различают? Как их обозначают? Какова их размерность? (/1/, §1.4; /2/, §1.4; /3/, §1.5)

8. Какая существует зависимость между напряжениями и внутренними силовыми факторами? (/1/, §1.4; /2/, §1.4)

2. Растяжение, сжатие

1. Какой вид нагружения (деформации) называют «центральным растяжением, сжатием»? (/1/, § 2.1; /2/, § 3.1; /3/, § 3.1)

2. Какие напряжения возникают в поперечных сечениях стержня? Записать формулу для их определения. Как (равномерно или неравномерно) они распределяются по плоскости поперечного сечения стержня? (/1/, § 2.2; /2/, §3.1; /3/, § 3.2)

3. Запишите формулы для определения абсолютной и относительной деформаций призматического стержня в продольном и поперечном направлениях. Дать определение коэффициента Пуассона, ν . (/1/, § 2.3; /2/, § 3.1; /3/, § 3.2)

4. Приведите допущения, которые лежат в основе теории центрального растяжения, сжатия. (/2/, § 3.1)

5. Запишите формулы закона Гука для относительной и абсолютной деформаций стержня. Дать определение модуля продольной упругости, E . (/1/, § 2.3; /2/, § 3.1; /3/, § 3.2)

6. Статически неопределенные системы. (/2/, § 3.5; /3/, § 3.4)

7. Испытание материалов на растяжение и сжатие. (/2/, § 3.7; /3/, § 3.5)

8. Изобразите диаграмму растяжения для пластичного материала. Какие механические характеристики материала различают? Как они определяются? Что такое «условный предел текучести»? (/1/, § 2.4; /2/, § 3.8; /3/, § 3.5)

9. Как сопротивляются растяжению и сжатию пластичные и хрупкие материалы, одинаково или по-разному? Сопоставить диаграммы растяжения, сжатия для хрупких и пластичных материалов. Привести деформационные характеристики, определяющие степень пластичности материала (/1/, § 2.4; /2/, § 3.8; /3/, § 3.5)

10. Методы расчета строительных конструкций (/2/, § 3.12; /3/, § 3.7)

11. Нормативные и расчетные сопротивления материалов. Что принимается за нормативное сопротивление для пластичных и хрупких материалов? (/2/, § 3.12; /3/, § 3.7)

12. Записать условие жёсткости и условие прочности. Какие три вида задач решаются из этих условий? (/1/, § 2.8; /2/, § 3.12; /3/, § 3.7)

13. Расчет статически неопределенных стержневых систем по методу предельного равновесия (/4/, гл.2).

3. Геометрические характеристики плоских сечений

1. Запишите интегральные выражения для статического момента инерции, для осевых, центробежного и полярного моментов инерции, их размерность и знаки, которые они могут иметь (/1/, §§ 5.2, 5.3; /2/, § 4.1; /3/, § 2.1)

2. По каким формулам определяют координаты центра тяжести сечения? (/1/, § 5.2; /2/, § 4.1; /3/, § 2.1)
3. Какая существует зависимость между полярным и осевыми моментами инерции? (/1/, § 5.3; /2/, § 4.1; /3/, § 2.1)
4. Запишите формулы для осевых и центробежного моментов инерции относительно осей, проходящих параллельно центральным (/1/, § 5.5; /2/, § 7; /3/, § 26)
5. Относительно какой оси из целого семейства параллельных осей моменты инерции для рассматриваемого сечения будут иметь наибольшее значение? Относительно какой – наименьшее? (/1/, § 5.5; /2/, § 4.2; /3/, § 2.1)
6. Запишите формулы для определения центральных моментов инерции сложного сечения (/1/, § 5.8; /2/, § 4.6; /3/, § 2.6)
7. Какие оси и моменты инерции называются главными? (/1/, § 5.7; /2/, § 4.4; /3/, § 2.4)
8. Запишите формулы для определения направления главных осей и значений главных моментов инерции сечения (/1/, § 5.7; /2/, § 4.4; /3/, § 2.4)
9. По каким формулам определяются значения осевого и полярного моментов инерции круглого сечения? (/1/, § 5.4; /2/, § 4.1; /3/, § 2.5)

4. Основы теории напряжённо-деформированного состояния. Теории прочности

1. Что называют напряжённым состоянием в точке тела? (/1/, § 3.1; /2/, § 13.1; /3/, § 4.1)
2. Какие площадки, напряжения называются главными? (/1/, § 3.3; /2/, § 3.13; /3/, § 4.1)
3. Какие напряжённые состояния называются линейными, плоскими, объемными? (/1/, § 3.1; /2/, § 13.1; /3/, § 4.1)
4. Что называется законом парности касательных напряжений? (/1/, § 3.2; /2/, § 5.1; /3/, § 4.1)
5. Записать выражения для обобщённого закона Гука, относительного изменения объёма. (/1/, §§ 3.7, 3.8; /2/, §§ 3.2; 13.12; /3/, § 4.5)
6. Что называют «потенциальной энергией деформации», «удельной потенциальной энергией деформации», «удельной энергией формоизменения», «удельной потенциальной энергией изменения объёма»? Записать формулы для их определения. (/1/, § 3.9; /2/, § 13.13; /3/, § 4.6)
7. Каково назначение гипотез прочности? Что называют опасным состоянием материала, опасной точкой? Почему прочность материала, находящегося в любом напряжённом состоянии, оценивают на основе экспериментальных данных для одноосного напряжённого состояния? (/1/, § 8.1; /2/, § 14.1)
8. В чём сущность первой (теория наибольших нормальных напряжений), второй (теория наибольших относительных удлинений), третьей (теория наибольших касательных напряжений), четвёртой (энергетической) теорий прочности и теории прочности Мора? Какое опасное состояние лежит в основе каж-

дой из этих теорий? Записать математические выражения данных теорий прочности. (/1, §§ 8.1, 8.2; /2, §§ 14.2-14.4)

5. Сдвиг, кручение

1. Дать определение деформации сдвига. (/2, § 5.1)
2. Чистый сдвиг, как частный случай плоского напряжённого состояния – дать определение. (/1, § 4.1; /2, § 5.1; /3, § 5.1)
3. Дать определение модуля сдвига, G . Записать формулу закона Гука при сдвиге. Как определяют потенциальную энергию деформации при чистом сдвиге? Какая существует при этом связь между упругими постоянными (E , G , v) для изотропного материала? (/1, §§ 4.2, 4.3; /2, § 5.2; /3, § 5.1)
4. Записать формулу для условия прочности на сдвиг (срез). Записать данное условие применительно к расчётом на прочность деталей, испытывающих деформацию среза (болтов, заклёпок, шпонок и т. д.). Записать для них условие прочности на смятие. В чём сущность расчёта на смятие? Записать условие прочности на срез для сварных соединений. (/1, § 4.4; /2, § 5.8; /3/ §§ 5.2-5.4)
5. Какой вид нагружения (деформации) называют кручением? (/1, § 6.1; /2, § 5.2; /3, § 6.1)
6. В каком напряжённом состоянии находится прямоугольный элемент вала, четыре грани которого совпадают с плоскостями поперечного и продольного сечений? (/1, § 6.2; /2, §§ 5.2, 5.3; /3, §§ 6.2, 6.3)
7. Какие допущения лежат в основе теории кручения брусьев круглого поперечного сечения? (/1, § 6.2; /2, § 5.2)
8. Какие напряжения действуют в поперечных сечениях вала при кручении? Записать формулу для их определения. Как они распределяются по плоскости поперечного сечения? (/1, § 6.2; /2, § 5.2; /3, § 6.2)
9. Записать условие прочности и условие жесткости при кручении и формулы для решения трёх задач из этих условий. (/1, § 6.4; /2, §§ 5.2, 5.3; /3, § 6.4)

6. Изгиб прямых брусьев

1. Какой вид нагружения называется изгибом? (/1, § 7.1; /2, § 6.1; /3, § 7.1)
2. Что называют плоским (прямым) изгибом? Какой вид плоского изгиба называют чистым, а какой – поперечным? (/1, § 7.1; /2, §§ 6.2, 6.3; /3, § 7.1)
3. Какие дифференциальные зависимости существуют между интенсивностью распределённой нагрузки q , поперечной силой Q и изгибающим моментом M ? Как проверить правильность построения эпюр Q и M ? (/1, § 7.4; /2, § 5.2; /3, § 7.2)
4. Как распределяются нормальные напряжения σ по высоте сечения балки? Изобразите эпюру σ для балки прямоугольного поперечного сечения. (/1, § 7.6; /2, § 6.2; /3, § 7.4)
5. Что такое нейтральная ось сечения балки и где она расположена? Чему равняется статический момент сечения балки относительно нейтральной оси? (/1, § 7.6; /2, §§ 7.1-7.3; /3, § 7.5)

6. Запишите формулу для определения нормальных напряжений, σ . Запишите условие прочности при изгибе. (/1, §§ 7.6, 7.10; /2, § 6.3; /3, § 7.7)

7. Запишите формулу для определения касательных напряжений τ при изгибе и поясните величины, входящие в неё. (/1, § 7.7; /2, §§ 7.1, 7.2; /3, § 7.5)

8. Запишите приближённое дифференциальное уравнение изогнутой оси балки. (/1, § 7.13; /2, §§ 8.1, 8.2; /3, § 8.1, 8.2)

9. Какой геометрический смысл имеют постоянные интегрирования приближённых дифференциальных уравнений изогнутой оси балки? (/1, §§ 7.13, 7.14; /2, § 8.8; /3, § 8.3)

10. Из каких условий определяют постоянные интегрирования приближённых дифференциальных уравнений? Приведите примеры таких условий для консольной и двухопорной балок. (/1, § 7.14; /2, § 8.4; /3, § 8.3)

11. Запишите условия составления и интегрирования приближённых дифференциальных уравнений для балки с несколькими участками (условия Клебша). (/1, § 7.13; /2, § 8.5; /3, § 8.4)

7. Общие методы определения перемещения

1. Какие существуют виды перемещений поперечных сечений балок? (/1, § 7.13; /2, § 8.1; /3, § 8.1)

2. Записать план решения задачи определения перемещений интегралом Мора (/1, § 11.4; /2, § 8.9; /3, § 8.7)

3. Записать план решения задачи определения перемещений способом Верещагина. (/1, § 11.5; /3, § 8.8)

4. Как определить направление перемещения при решении задачи интегралом Мора и способом Верещагина? (/1, §§ 11.4, 11.5; /2, § 8.9; /3, §§ 8.7, 8.8)

8. Статически неопределимые системы

1. Какие системы называются статически неопределенными? (/1, § 12.1; /2, §§ 3.5, 9.1; /3, § 3.4)

2. Что такая степень статической неопределенности и как она вычисляется? (/1, § 12.1; /2, §§ 3.5, 9.1; /3, § 3.4)

3. Какая система называется основной, какая – эквивалентной? (/1, § 12.2; /2, § 9.2; /3, §§ 10.1, 10.2)

4. Сколько канонических уравнений метода сил необходимо записать для статически неопределенной системы? (/1, § 12.2; /2, § 9.3; /3, § 10.2)

5. Что означает каноническое уравнение метода сил? (/1, § 12.2; /2, § 9.3; /3, § 10.4)

6. Записать план решения задачи по раскрытию статической неопределенности методом сил. (/1, § 12.3; /2, § 9.3; /3, § 10.4)

7. Перемножением каких эпюр определяются коэффициенты и свободные члены системы канонических уравнений? (/1, §§ 12.2, 12.3; /2, § 9.3; /3, § 10.3)

8. Какие существуют способы проверки правильности раскрытия статической неопределенности? (/1, § 12.6; /2, § 9.3; /3, § 10.3)

9. Сложное сопротивление

1. Что называется сложным сопротивлением? (/1/, § 9.1; /3/, гл. 11)
2. Что называется сложным изгибом? Что собой представляет изогнутая ось балки при действии сложного изгиба? Какие внутренние силовые факторы при этом возникают в поперечных сечениях балки? (/2/, § 6.5; /3/, § 11.2)
3. Какой изгиб называется косым? Что собой представляет изогнутая ось балки при косом изгибе? Какие внутренние силовые факторы при этом возникают в поперечных сечениях балки? (/1/, § 9.1; /2/, § 6.5; /3/, § 11.2)
4. Записать формулу для определения нормальных напряжений в поперечных сечениях балки при косом изгибе. Почему в прочностных расчётах не учитывают касательные напряжения? (/1/, § 9.1; /2/, § 6.5; /3/, § 11.2)
5. Записать формулу для определения положения нейтральной линии при косом изгибе. (/1/, § 9.1; /2/, § 6.5; /3/, § 11.2)
6. Как взаимно ориентированы силовая и нейтральная линии при косом изгибе? Записать формулу. (/1/, § 9.1; /2/, § 6.5; /3/, § 11.2)
7. Как определяется значение полного прогиба при косом изгибе? (/2/, § 6.5; /3/, § 11.2)
8. Показать расчётные схемы стержней, на которые действуют продольно - поперечные нагрузки и внецентренно прикладываемые нагрузки. Какие при этом возникают внутренние силовые факторы и напряжения в поперечных сечениях стержней? (/2/, § 6.6; /3/, § 11.3)
9. Что называется внецентренным растяжением, сжатием? (/1/, § 9.2; /2/, § 6.6; /3/, § 11.3)
10. Записать расчётную формулу для определения нормальных напряжений при внецентренном растяжении, сжатии. (/1/, § 9.2; /2/, § 6.6; /3/, § 11.3)
11. Записать уравнение нейтральной линии для случая внецентренного растяжения, сжатия. Как располагаются центр тяжести сечения и точка приложения силы относительно нейтральной линии? (/1/, § 9.2; /2/, § 6.6; /3/, § 11.3)
12. Что называется ядром сечения? (/1/, § 9.3; /2/, § 6.6; /3/, § 11.3)
13. Какие внутренние силовые факторы возникают в поперечных сечениях вала при совместном действии изгиба и кручения? Какие из них учитывают в расчетах? Какие им соответствуют напряжения? (/1/, § 9.4; /3/, § 11.5)
14. Как выражается условие прочности при совместном действии изгиба и кручения? (/1/, § 9.4; /3/, § 11.5)
15. Выведите формулу для определения расчётного момента при совместном действии изгиба и кручения по III и IV теориям прочности. (/1/, § 9.4; /3/, §§ 11.5, 11.6)

10. Устойчивость сжатых стержней

1. Что такое «устойчивое упругое равновесие»? От чего зависит устойчивость формы равновесия? В чём сущность явления потери устойчивости? В качестве примера рассмотрите прямолинейный стержень с условиями закрепления «шарнир - шарнир». (/1/, § 13.1; /2/, §§ 15.1, 15.2; /3/, §§ 13.1, 13.2)

2. Что такое продольный изгиб? (/2/, § 15.1; /3/, § 13.1)
3. Какая сила называется критической? Запишите формулу Эйлера для определения критической силы. Как влияют условия закрепления стержней на величину критической силы? (/1/, §§ 13.1, 13.2; /2/, §§ 15.2, 15.3; /3/, §§ 13.2, 13.3)
4. Каковы пределы применимости формулы Эйлера? (/1/, § 13.3; /2/, § 15.4; /3/, § 13.4)
5. Записать формулу Ясинского – Тетмайера для определения критических напряжений. Как при этом определяется критическая сила? (/1/, § 13.3; /2/, § 15.4; /3/, § 13.4)
6. Практический расчет сжатых стержней. (/1/, § 13.4; /2/, § 15.5; /3/, § 13.5)

11. Расчёт на прочность при циклическом изменении напряжений

1. Что такое усталость материала, выносливость материала? (/1/, § 15.1; /2/, §§ 19.1, 19.2; /3/, § 14.5)
2. Что называется пределом выносливости? (/1/, § 15.2; /2/, § 19.3; /3/, § 14.5)
3. Какие факторы влияют на предел выносливости? (/1/, § 15.4; /2/, § 19.5; /3/, § 14.5)

12. Динамическая нагрузка

1. Какие нагрузки называются статическими, какие – динамическими? Привести примеры. (/1/, § 14.1; /2/, § 17.1; /3/, § 14.1)
2. В чём сущность принципа Даламбера? В каких случаях его используют для решения задачи, при равноускоренном движении или при действии ударной нагрузки? (/1/, §§ 14.1, 14.2; /2/, § 17.2; /3/, § 14.2)
3. Записать формулы для определения динамических напряжений и динамических перемещений. Как определяется коэффициент динамичности в расчётах на удар при осевом действии нагрузки, при поперечном действии нагрузки? (/1/, 14.3; /2/, § 17.3; /3/, §§ 14.3, 14.4)

Задания к курсовой и контрольным работам

Задача 1.

Плоская шарнирно-стержневая система загружена в узле силой F (рис. 2).

Требуется:

1. Определить усилия в стержнях.
2. Подобрать размеры поперечных сечений стержней. Стержень 1 стальной, круглого поперечного сечения, стержень 2 стальной квадратного сечения.
3. Вычислить удлинения (укорочения) стержней и построить план перемещений.
4. Определить перемещение узла.

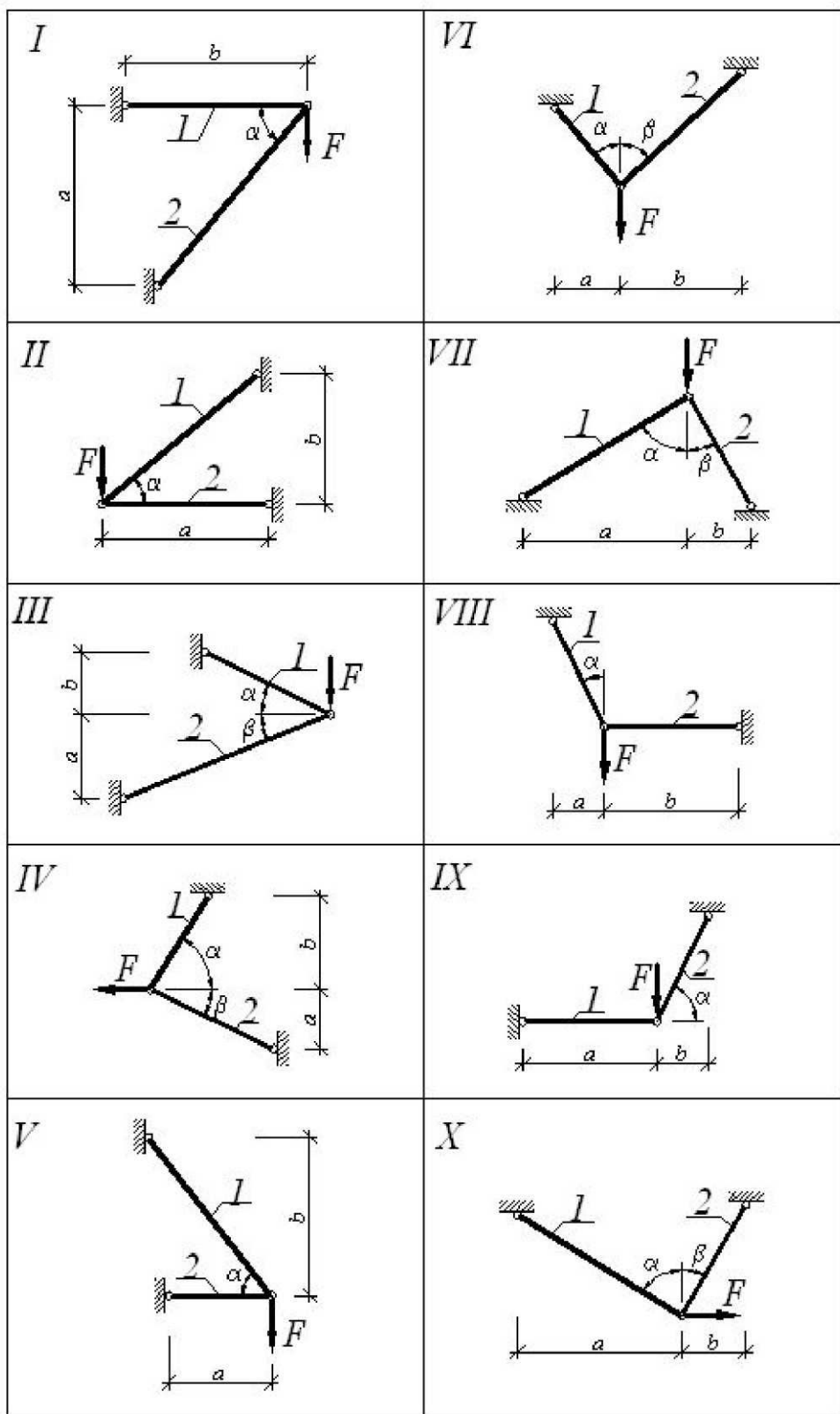


Рис. 2

При расчете считать, что устойчивость сжатых стержней (если таковые в системе имеются) обеспечена.

Для всех вариантов принять расчетное сопротивление стали $R = 240 \text{ МПа}$, модуль упругости $E = 2 \cdot 10^5 \text{ МПа}$. Остальные данные взять из табл. 2.

Таблица 2

№ строки	Схема	F, kH	$a, \text{м}$	$b, \text{м}$	Угол, град.	
					α	β
1	I	160	2,0	3,5	30	50
2	II	120	3,2	2,5	40	60
3	III	240	2,4	3,0	50	45
4	IV	320	4,0	2,4	60	40
5	V	280	2,5	5,0	30	60
6	VI	260	5,0	4,5	50	30
7	VII	140	4,5	3,6	40	30
8	VIII	160	3,6	3,8	70	50
9	IX	220	3,2	3,6	30	40
0	X	250	3,8	4,0	60	70
	е	д	в	б	г	а

Примечание. Для схем I, II, V, VIII и IX значение угла β -опустить

Задача 2.

Абсолютно жесткий брус опирается на шарнирно неподвижную опору и поддерживается двумя стержнями из пластичной стали (рис. 3).

Требуется:

1. Выполнить расчет системы по упругой стадии работы:

1.1) подобрать сечение стержней на действие заданной нагрузки;

1.2) определить в элементах системы температурные напряжения, вызванные изменением температуры стержня № 1;

1.3) вычислить начальные (монтажные) напряжения в стержнях, вследствие неточности изготовления стержня № 2

1.4) подсчитать суммарные напряжения в стержнях от совместного действия внешних факторов, перечисленных в пункте 1.1–1.3 и проверить их прочность.

2. Рассчитать заданную систему по методу предельного равновесия (по упруго-пластической стадии работы):

2.1) определить расчётную несущую способность системы при сечениях стержней принятых по пункту 1.1;

2.2) подобрать сечения стержней при заданной нагрузке.

3. Сравнить результаты расчёты системы по двум стадиям работы.

Данные плоской статически неопределенной системы (СНС), размеры ее элементов, соотношение площадей поперечного сечения стальных стержней, их физико-механические характеристики, изменение температуры одного из стержней и величину неточности изготовления другого стержня взять из табл. 3.

Для всех вариантов СНС принять модуль упругости стали $E = 2,06 \cdot 10^5 \text{ МПа}$, коэффициент линейного расширения $\alpha = 1,25 \cdot 10^{-5} \text{ }^{\circ}\text{C}^{-1}$.

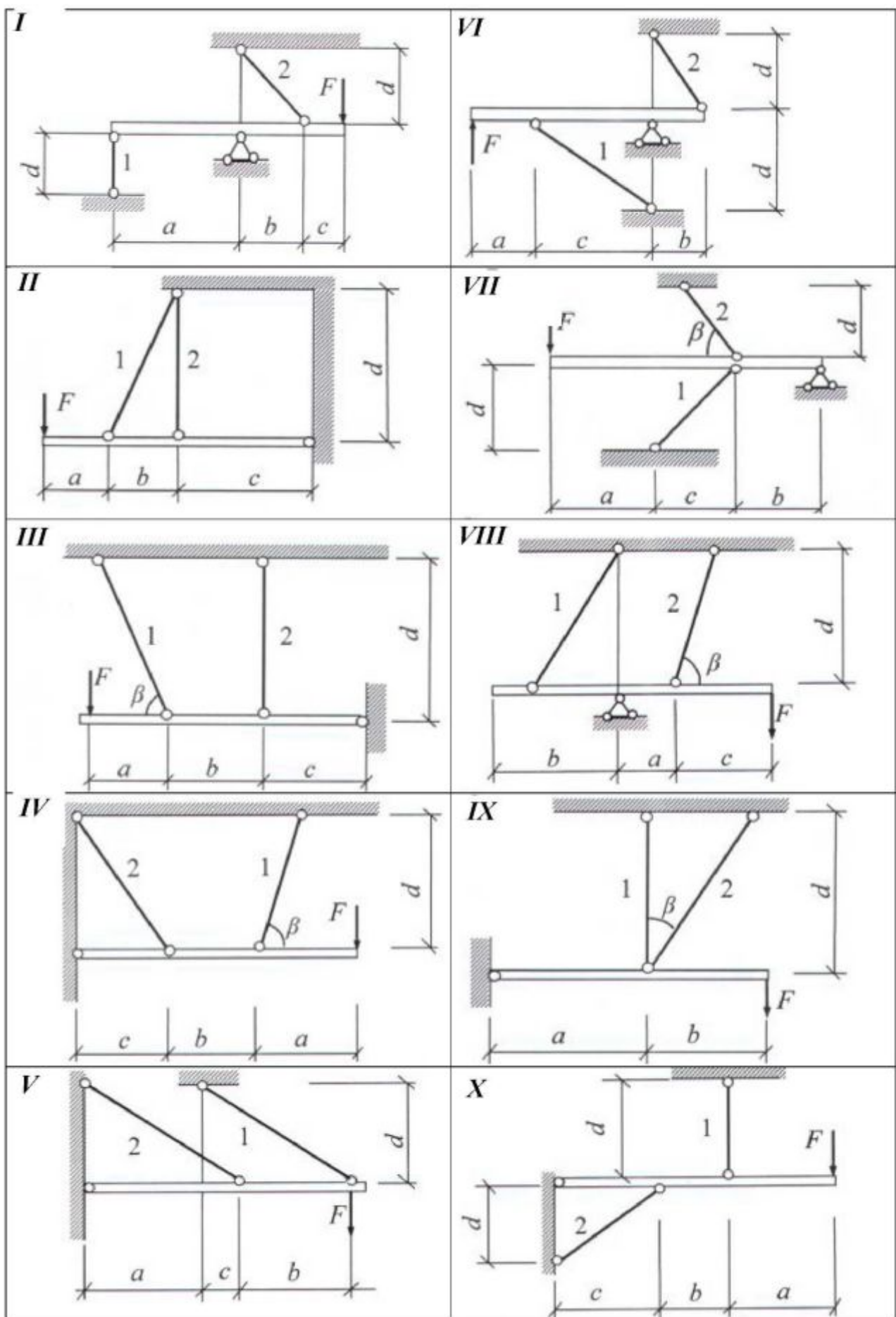


Рис. 3

Таблица 3

№ строки	Схема	Нагрузка	Длины участков системы и стержней, м				Угол, град.	Соотношение площадей сечений стержней	Приращение температуры 1-го стержня	Неточность изготовления 2-го стержня	Расчетное сопротивление стержня, МПа	
			a	b	c	d					№ 1	№ 2
											R ₁	R ₂
1	I	400	2	2,2	2,4	4,2	60	1,8	+40	-1,2	235	345
2	II	240	2,8	2	2,4	3,6	45	0,6	-60	+1,0	280	240
3	III	320	2,2	3,6	2,0	3,2	60	1,2	-30	+0,8	365	240
4	IV	280	2,2	2,4	3,2	4,0	45	1,0	+45	-1,1	245	280
5	V	300	3,2	2,2	5,4	3,8	70	2,0	-35	-1,5	370	235
6	VI	340	2,6	2,8	2,0	4,8	75	2,0	+40	+1,2	345	285
7	VII	220	3,6	2,8	2,0	4,0	60	1,8	-50	+1,0	255	280
8	VIII	400	2,0	2,5	2,5	3,8	60	1,5	+30	-0,8	360	240
9	IX	320	3,0	3,0	2,4	3,6	45	1,0	-40	-1,2	245	355
0	X	280	2,2	2,6	3,0	3,0	60	0,8	+35	-1,0	280	360
	e	e	e				δ	δ	e	ε	δ	

Задача 3.

Задано сечение стального бруса, который состоит из листа и профильно-го проката – швеллера или двутавра. Одна ось (Х или Y) является общей центральной осью составного сечения (рис. 4).

Требуется:

- Привести геометрические характеристики простых составляющих сечения относительно их собственных центральных осей.
- Вычертить сечение в масштабе с указанием основных размеров в числах и обозначением центральных осей простых составляющих сечения, параллельных вспомогательным осям.
- Определить координаты центра тяжести всего сечения и построить на чертеже главные центральные оси, параллельные вспомогательным осям.
- Выполнить проверку правильности выполнения третьего пункта путём вычисления статического момента всего сечения относительно общих центральных осей.
- Определить значения главных центральных моментов инерции сечения.
- Определить значения осевых моментов сопротивления (W_X, W_Y).

Данные взять из табл. 4.

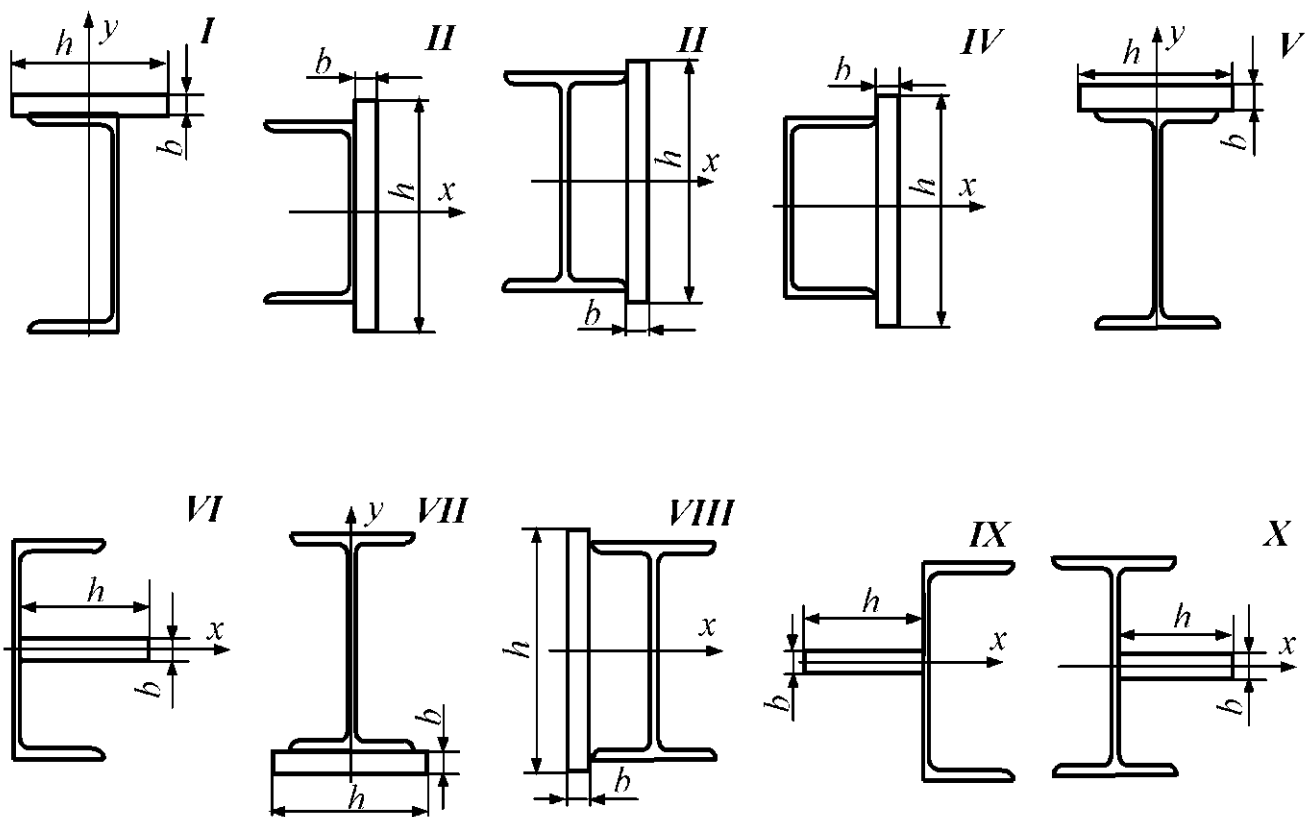


Рис.4

Таблица 4

№ строки	Схема	Швеллер №	Двутавр №	Размеры сечения листа, см	
				<i>h</i>	<i>b</i>
1	I	12	10	18	0,4
2	II	14	12	19	0,5
3	III	16	14	20	0,6
4	IV	18	16	21	0,7
5	V	18 ^a	18	22	0,8
6	VI	16 ^a	18 ^a	18	0,4
7	VII	14 ^a	14	20	0,6
8	VIII	16	16	19	0,5
9	IX	12	12	21	0,7
0	X	10	10	22	0,8
	<i>e</i>	<i>e</i>	<i>e</i>	<i>ø</i>	<i>z</i>

Задача 4.

Даны две схемы стальных балок (рис. 5)

Требуется:

Для схемы «а»:

- Построить эпюры поперечной силы Q и изгибающего момента M .

2. Проверить прочность по нормальным напряжениям в балке сложного поперечного сечения, уже рассмотренного в задаче 3.

3. Вычислить коэффициент использования прочности стали балки.

4. Определить прогиб конца консоли аналитическим методом, составляя и интегрируя дифференциальные уравнения изогнутой оси балки.

Для схемы «б»:

1. Построить эпюры поперечной силы Q и изгибающего момента M .

2. Подобрать сечения следующей формы: прямоугольное ($h/b = k$); круглое; кольцевое ($\alpha = d/D$); состоящее из двух швеллеров; двутавровое.

3. Оценить эффективность формы сечения.

Для всех вариантов принять расчетное сопротивление стали $R = 240 \text{ MPa}$, модуль упругости (модуль Юнга) $E = 2 \cdot 10^5 \text{ MPa}$. Остальные данные взять из табл. 5

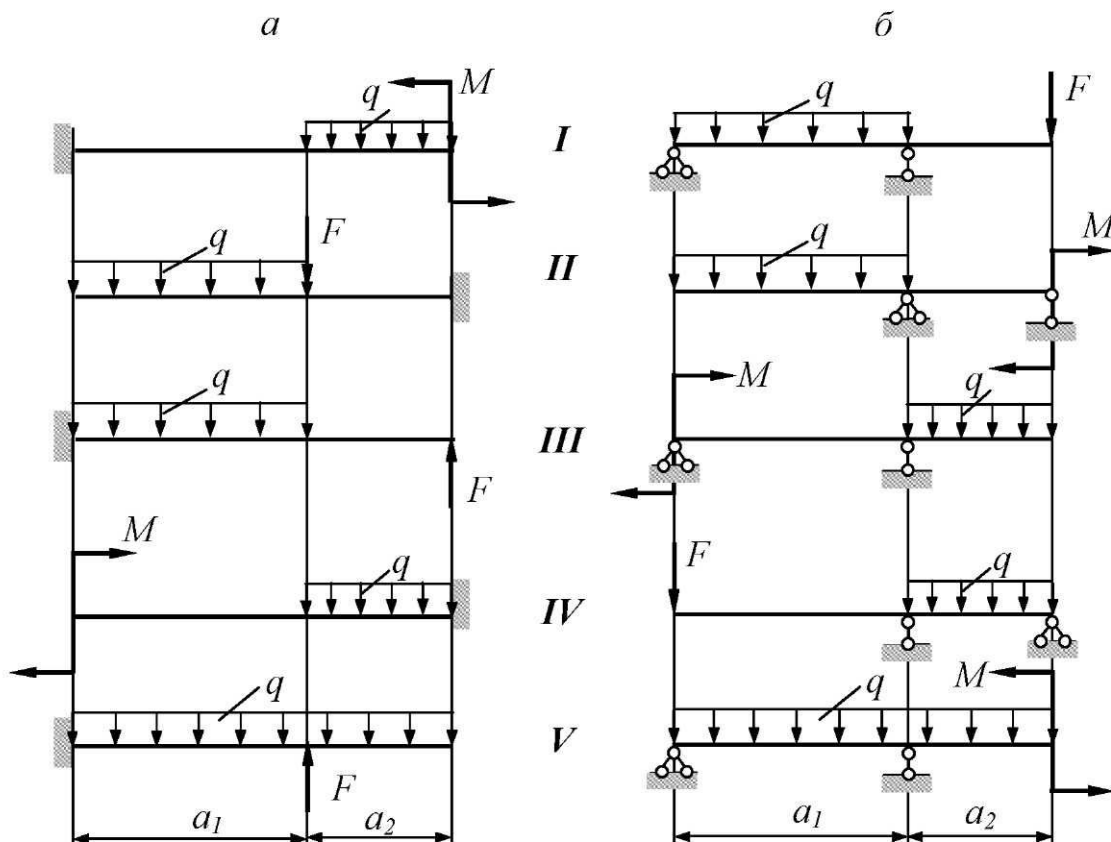


Рис. 5

Таблица 5

№ строки	Схема	$a_1, м$	$a_2, м$	$q, кН/м$	$F, кН$	$M, кН·м$	k	α
1	I	1.0	2.0	10	25	10	1.5	0.7
2	II	1.2	1.8	12	24	15	2.0	0.8
3	III	1.4	1.6	14	22	20	2.5	0.9
4	IV	1.6	1.4	16	20	25	3.0	0.8
5	V	1.2	1.8	18	18	30	2.5	0.7
6	I	2.0	1.0	20	16	35	2.0	0.8
7	II	1.8	1.2	22	15	30	1.5	0.7
8	III	1.6	1.4	24	14	25	2.0	0.9
9	IV	1.4	1.6	26	12	20	2.5	0.8
0	V	1.2	1.8	28	10	15	3.0	0.9
	<i>e</i>	<i>a</i>	<i>б</i>	<i>в</i>	<i>г</i>	<i>δ</i>	<i>e</i>	<i>б</i>

Задача 5.Задана консольная балка постоянной жесткости ($EI_X = const$), рис. 6.*Требуется:*

Определить по правилу Верещагина вертикальное перемещение точки «B»

Данные взять из табл. 6.

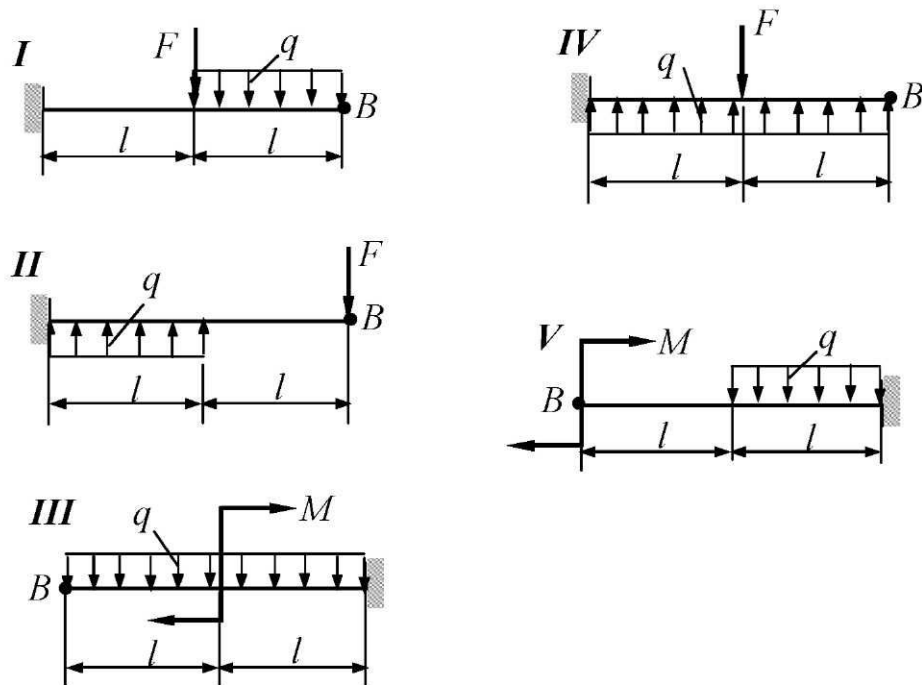


Рис. 6

Таблица 6

№ строки	Схема	$q, \text{кН}/\text{м}$	$F, \text{кН}$	$M, \text{кН}\cdot\text{м}$	$I, \text{м}$
1	I	6	20	10	1.1
2	II	7	10	12	1.2
3	III	8	5	14	1.3
4	IV	9	4	16	1.4
5	V	10	6	18	1.5
6	I	12	8	20	1.6
7	II	15	15	8	1.7
8	III	5	7	6	1.8
9	IV	20	12	7	1.9
0	V	16	14	5	2.0
	e	a	δ	ϵ	ϱ

Задача 6.

Жесткая колонна заданного поперечного сечения (рис.7) сжимается силой F , параллельной оси колонны и приложенной в точке, показанной на схеме сечения. Расчетное сопротивление материала на растяжение $R_t = 3 \text{ МПа}$, на сжатие $R_c = 30 \text{ МПа}$.

Требуется:

1. Найти положение нулевой линии.
2. Вычислить наибольшие сжимающие и растягивающие напряжения и построить эпюру напряжений. Дать заключение о прочности колонны.
3. Определить расчетную несущую способность (расчетную нагрузку) F_{max} при заданных размерах сечения.
4. Построить ядро сечения.

Числовые данные – в табл. 7.

Таблица 7

№ строки	Схема	Нагрузки $F, \text{кН}$	Размеры сечения, см		Точка приложения силы
			a	b	
1	I	120	24	10	1
2	II	160	30	12	2
3	III	180	32	20	3
4	IV	200	40	16	1
5	V	240	36	14	2
6	VI	280	28	20	3
7	VII	140	32	18	3
8	VII	220	24	16	2
9	IX	260	30	15	1
0	X	240	40	18	2
	δ	e	ϵ	ϱ	$\bar{\delta}$

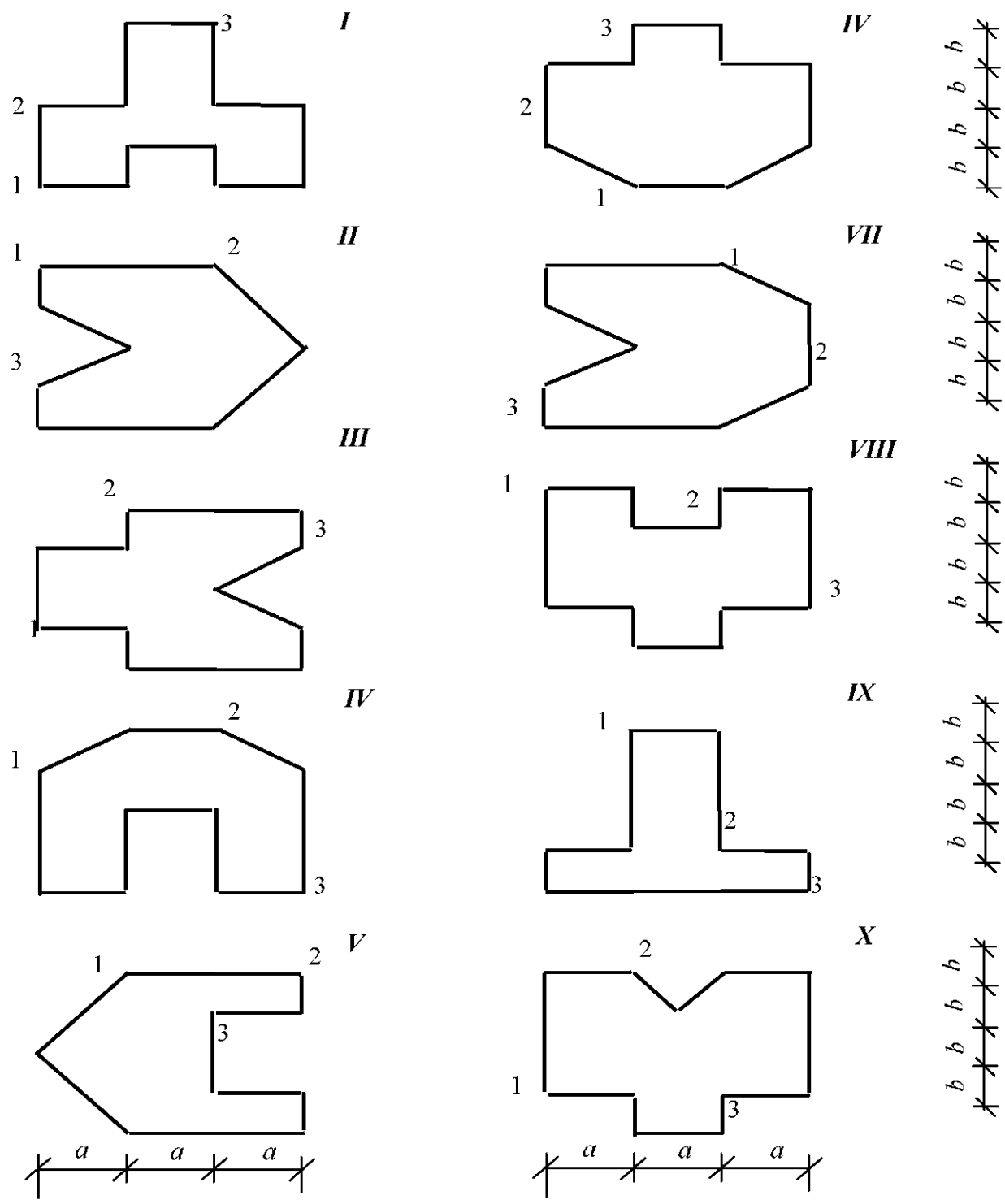


Рис. 7.

Задача 7.

Стальной стержень длиной l сжимается силой F (рис. 8).

Требуется:

1. Найти размеры поперечного сечения стержня при расчетном сопротивлении стали $R = 160 \text{ МПа}$, пользуясь методом последовательных приближений.

2. Определить величину критической силы, если предельная гибкость равна $\lambda_{пред} = 100$.

3. Вычислить коэффициент запаса устойчивости.

Данные взять из табл. 8.

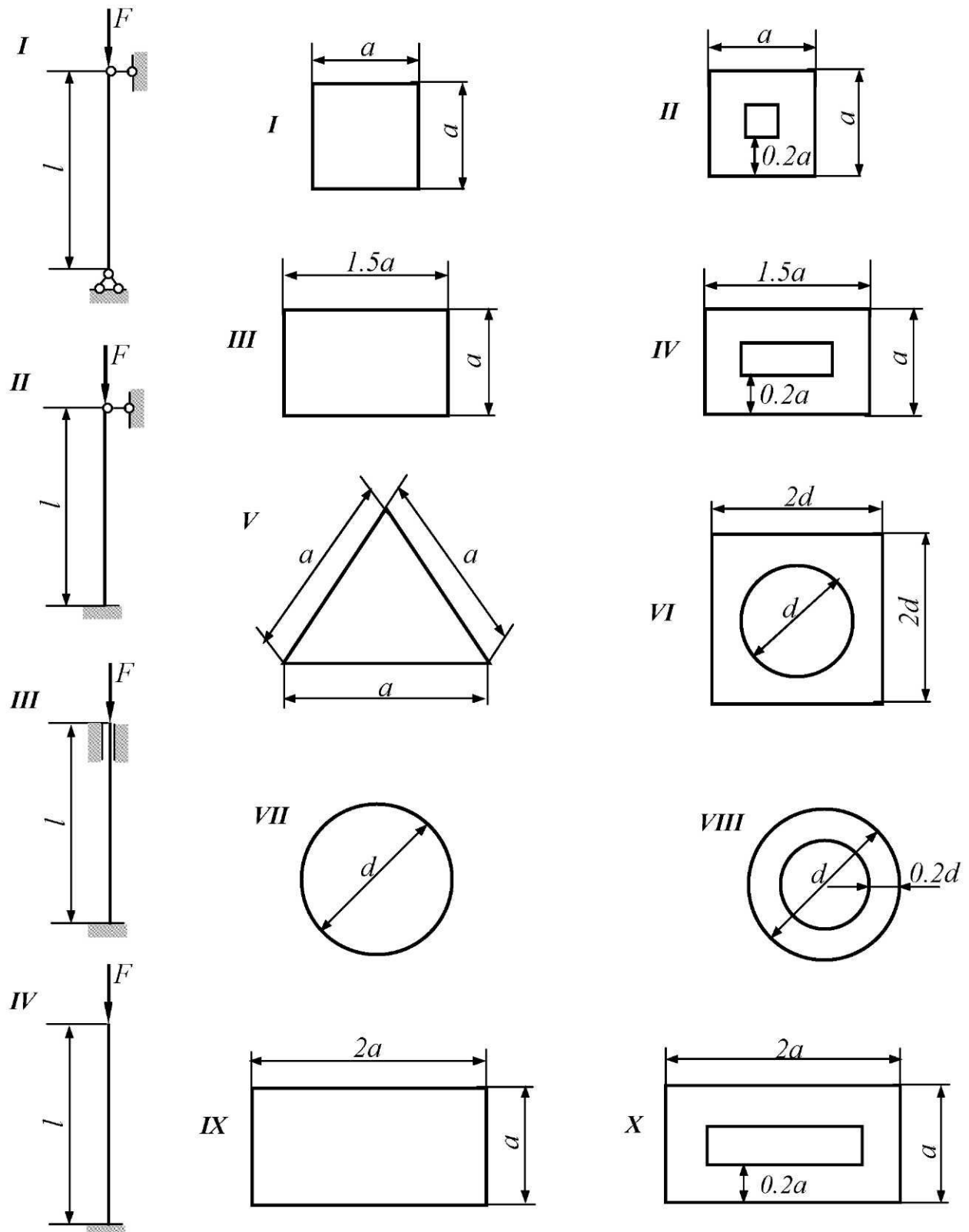


Рис. 8

Табл. 8

№ строки	Схема	Форма сечения	F, kH	$l, \text{м}$
1	I	I	100	2.1
2	II	II	200	2.2
3	III	III	300	2.3
4	IV	IV	400	2.4
5	I	V	500	2.5
6	II	VI	600	2.6
7	III	VII	700	2.7
8	IV	VIII	800	2.8
9	I	IX	900	2.9
0	II	X	1000	3.0
e		a	\bar{e}	\bar{a}

Задача 8.

На балку, свободно лежащую на двух жёстких опорах (рис. 9), с высоты h падает груз F .

Требуется:

- Найти наибольшее нормальное напряжение в балке.
- Решить аналогичную задачу при условии, что правая опора заменена пружиной, податливость которой равна α .
- Сравнить полученные результаты.

Данные взять из табл. 9.

Таблица 9

№ строки	Схема	№ двутавра	$l, \text{м}$	$F, \text{Н}$	$h, \text{м}$	$\alpha, \text{м}/\text{Н}$
1	I	20	2.1	1000	0.10	$21 \cdot 10^{-6}$
2	II	20 ^a	2.2	900	0.20	$22 \cdot 10^{-6}$
3	III	24	2.3	800	0.03	$23 \cdot 10^{-6}$
4	IV	24 ^a	2.4	700	0.04	$24 \cdot 10^{-6}$
5	V	27	2.5	600	0.05	$25 \cdot 10^{-6}$
6	VI	27 ^a	2.6	500	0.06	$26 \cdot 10^{-6}$
7	VII	30	2.7	400	0.07	$27 \cdot 10^{-6}$
8	VIII	30 ^a	2.8	300	0.08	$28 \cdot 10^{-6}$
9	IX	33	2.9	1200	0.09	$29 \cdot 10^{-6}$
0	X	36	3.0	1100	0.04	$30 \cdot 10^{-6}$
e		a	\bar{e}	\bar{a}	\bar{e}	\bar{a}

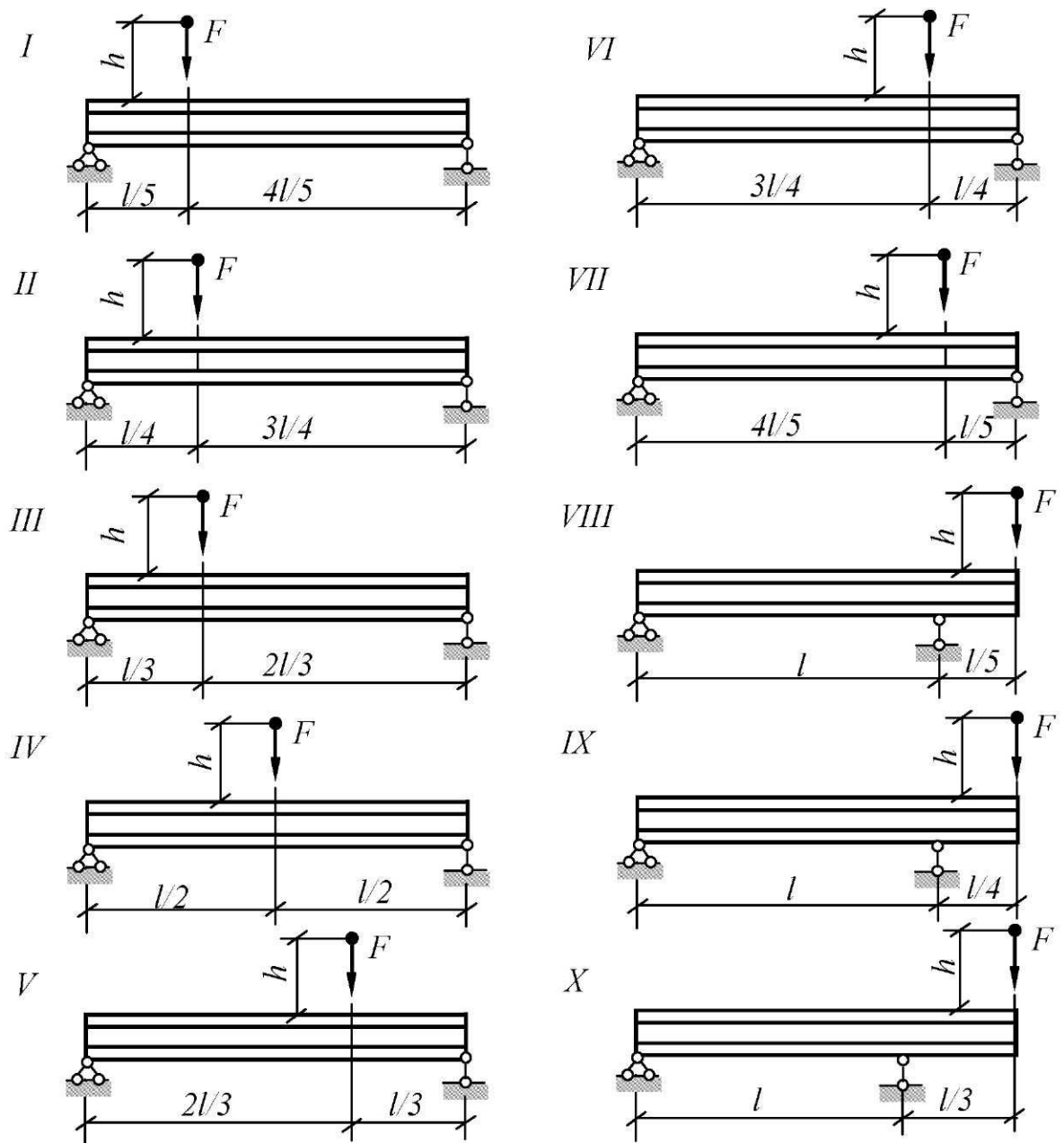


Рис. 9

Примеры решения задач

Задача 1.

Постановку задачи см. в практической части к курсовой работе (задача 1).

Исходные данные:

Сила $F=100 \text{ кН}$; расчетное сопротивление стали $R=160 \text{ МПа}$; модуль упругости $E=2 \cdot 10^5 \text{ МПа}$ (рис.10, а)

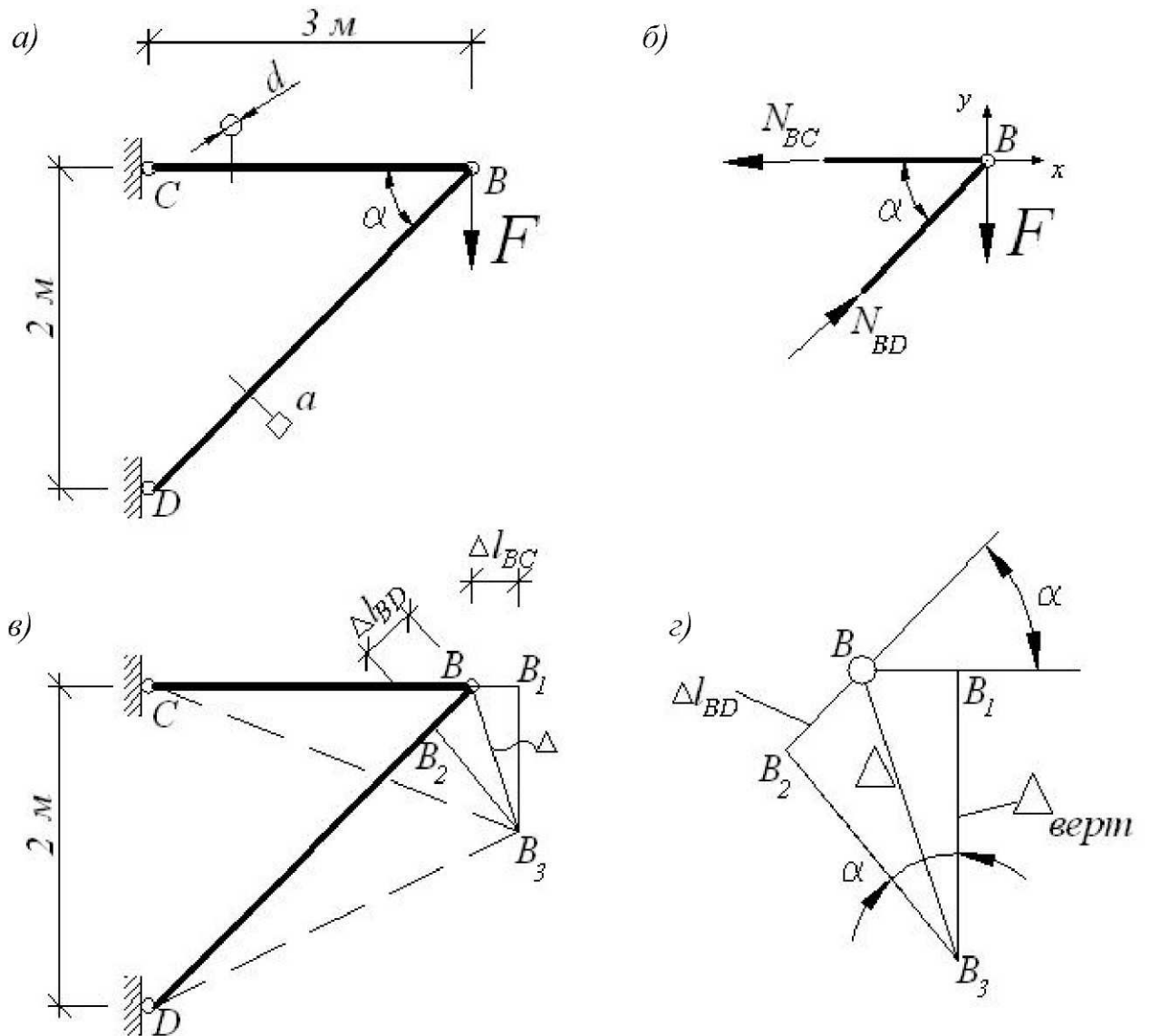


Рис. 10

Решение.

Мысленно вырезаем узел B , действие отброшенной части кронштейна заменяем искомыми внутренними усилиями. Для полученной плоской системы сходящихся сил составим уравнения равновесия (рис. 10, б)

$$\begin{aligned}\sum X &= -N_{BC} + N_{BD} \cos \alpha = 0 \\ \sum Y &= N_{BD} \sin \alpha - F = 0\end{aligned}$$

Решив уравнения, найдем внутренние усилия N_{BD} и N_{BC}

$$N_{BD} = \frac{F}{\sin \alpha} = \frac{100}{0,555} = 180,2 \text{ кН};$$

$$\operatorname{tg} \alpha = \frac{2}{3} = 0,667, \quad \alpha = 33,7^\circ, \quad \sin \alpha = 0,555,$$

$$N_{BC} = N_{BD} \cos \alpha = 180,2 \cdot 0,832 = 150 \text{ кН}.$$

Полученные положительные значения внутренних усилий показывают, что предварительно выбранные направления усилий оказались верными, стержень BC растягивается, а стержень BD -сжимается.

Диаметр стержня BC находим из условия прочности:

$$\frac{N_{BC}}{A_{BC}} \leq R,$$

где $A_{BC} = \frac{\pi \cdot d^2}{4}$,

откуда $d = \sqrt{\frac{N_{BC}}{R}} = \sqrt{\frac{4 \cdot 150 \cdot 10^3}{3,14 \cdot 160 \cdot 10^6}} = 3,5 \cdot 10^{-2} \text{ м} = 3,5 \text{ см.}$

Размеры поперечного сечения стержня BD определим на условия прочности:

$$\frac{N_{BD}}{A_{BD}} \leq R,$$

где $A_{BD} = a^2$,

откуда $a = \sqrt{\frac{N_{BD}}{R}} = \sqrt{\frac{180,2 \cdot 10^3}{160 \cdot 10^6}} = 3,4 \cdot 10^{-2} \text{ м} = 3,4 \text{ см.}$

Перемещение узла B найдем с помощью графоаналитического метода, для чего вычислим, используя закон Гука, абсолютные деформации стержней BC и BD , предполагая их свободными в точке B :

$$\Delta l_{BC} = \frac{N_{BC} l_{BC}}{EA_{BC}} = \frac{150 \cdot 10^3 \cdot 3 \cdot 4}{2 \cdot 10^{11} \cdot 3,14 \cdot 3,5^2 \cdot 10^{-4}} = 23,4 \cdot 10^{-4} \text{ м} = 0,234 \text{ см};$$

$$\Delta l_{BD} = -\frac{N_{BD} l_{BD}}{EA_{BD}} = -\frac{180,2 \cdot 10^3 \cdot 3,6}{2 \cdot 10^{11} \cdot 3,4^2 \cdot 10^{-4}} = -28,1 \cdot 10^{-4} \text{ м} = -0,281 \text{ см};$$

где $l_{BD} = \frac{3}{\cos \alpha} = \frac{3}{0,832} = 3,6 \text{ м.}$

Положение узла B после деформации стержней определится в результате построения деформационного треугольника по сторонам $l_{BC} + \Delta l_{BC}$ и $l_{BD} - \Delta l_{BD}$.

Стержень BC удлинился на величину Δl_{BC} , концевое сечение переместилось в точку B_1 . Радиусом, равным CB_1 проведем из точки C дугу окружности. Так как перемещения малы, то дугу можно заменить касательной, проведенной через B_1 перпендикулярно оси стержня BC (рис. 10, в).

Стержень BD укоротился на Δl_{BD} , и концевое сечение переместились в точку B_2 . Заменяя дугу, описанную из точки D радиусом DB_2 касательной, проведенной через B_2 перпендикулярно оси стержня BD , получим на пересечении перпендикуляров точку B_3 - новое положение узла B . Соединив точку B с B_3

найдем перемещение Δ узла B . На рис.10, в план перемещений изображен в увеличенном масштабе. План перемещений рекомендуется строить отдельно, как показано на рис.10, г. Из него следует, что горизонтальная составляющая перемещения Δ_{zop} узла B равна:

$$\Delta_{zop} = \Delta l_{BC} = 0,234 \text{ см.}$$

Вертикальную составляющую перемещения Δ_{verm} узла B легко найти, воспользовавшись теоремой аналитической геометрии – проекция замыкающей на любую ось равна алгебраической сумме проекций составляющих на ту же ось. Принимая за ось проекций направление Δl_{BD} получим:

$$-\Delta l_{BD} = \Delta l_{BC} \cos \alpha - \Delta_{verm} \sin \alpha;$$

откуда $\Delta_{verm} = -\frac{\Delta l_{BD} + \Delta l_{BC} \cos \alpha}{\sin \alpha} = \frac{0,281 + 0,234 \cdot 0,832}{0,555} = 0,857 \text{ см.}$

Знак Δl_{BD} учтен при построении плана перемещений. Полное перемещение узла B будет равно:

$$\Delta = \sqrt{\Delta_{zop}^2 + \Delta_{verm}^2} = \sqrt{0,234^2 + 0,857^2} = 0,888 \text{ см.}$$

Планы перемещений являются важным средством определения перемещений узлов ферм. Они называются диаграммами Вилло, так как были предложены французским инженером Д.В. Вилло в 1877 году.

Задача 2

Постановку задачи см. в практической части задания.

Исходные данные

Жесткий брус закреплен одним концом в шарнирно-неподвижной опоре B и поддерживается стержнями 1 и 2 (рис. 11).

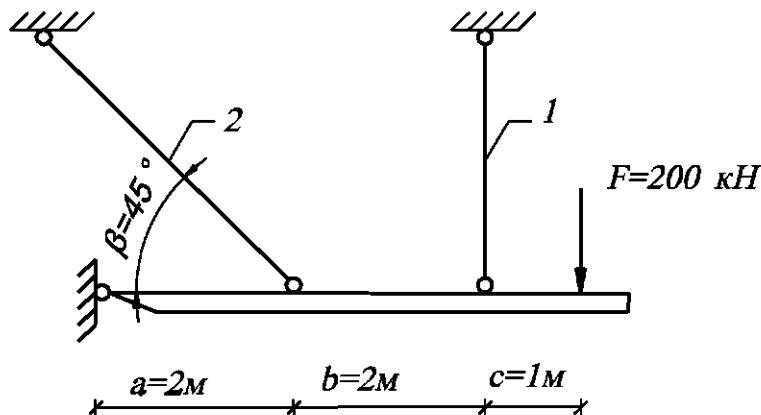


Рис. 11

Первый стержень из стали С375 длиной $l_1 = 2\text{м}$ с расчетным сопротивлением $R_1 = 360 \text{ МПа}$. Второй стержень из стали С235 длиной $l_2 = l_1 / \sin 45^\circ = 2,829 \text{ м}$ с расчетным сопротивлением $R_2 = 230 \text{ МПа}$. Модуль упругости стали $E = 2,06 \cdot 10^5 \text{ МПа}$. Отношение площадей $A_2/A_1 = 2$. Остальные характеристики системы приведены на рисунке.

Решение.

1. Расчёт системы по упругой стадии работы. Определим число лишних связей (степень статической неопределенности).

$$J = C - Y = 2-1-1.$$

Система один раз статически неопределенна.

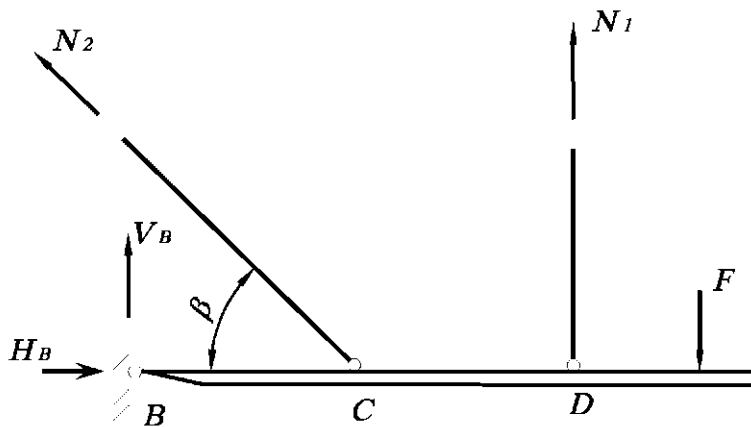


Рис. 12

1.1. Подбор сечений стержней на заданную нагрузку. Определим усилия в стержнях. Отбрасываем мысленно верхнее закрепление стержней и заменяем его действие неизвестными усилиями N_1 и N_2 , направленными вдоль стержней (рис. 12). Ограничимся составлением одного уравнения равновесия статики (реакции опоры $B-V_B$ и H_B определять не будем)

$$\sum m_B = 0 \quad N_1 \cdot (a+b) - N_2 \cdot a \cdot \sin \beta - F(a+b-c) = 0. \quad (1)$$

Уравнение содержит два неизвестных, для раскрытия статической неопределенности рассмотрим условие совместности деформаций и перемещений заданной системы.

Пренебрегая деформацией бруса BCD (брюс абсолютно жесткий), получаем при его повороте относительно опоры B под действием внешней нагрузки однозначную зависимость между перемещениями точек C и D , т.е. между деформациями стержней 1 и 2.

Отметим важную особенность решения таких задач. При повороте жесткого бруса точки C и D описывают дуги с соответствующими радиусами. Однако в связи с тем, что рассматриваются только упругие деформации, величина которых весьма мала по сравнению с размерами элементов системы, дугу всегда заменяют перпендикуляром, иными словами, точки C и D перемещаются вертикально и конечное их положение соответствует точкам C_1 и D_1 , лежащими на предполагаемой оси загруженного бруса. Вследствие неразрывности деформаций в точках C_1 и D_1 переместятся и концы стержней 2 и 1.

Стержни удлинились на

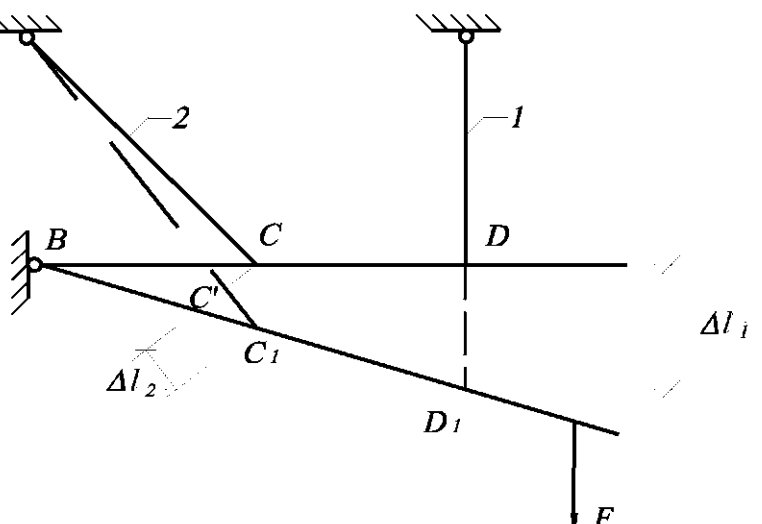


Рис. 13

величину Δl_1 и Δl_2 соответственно. Перемещение точки D в положение D_1 определяет деформацию Δl_1 стержня 1. Для выделения на плане перемещений системы деформации стержня 2 из конца стержня (точка C) до деформации необходимо опустить перпендикуляр на его конечное положение (пунктирная прямая). Отрезок $CC_1 = \Delta l_2$.

Уравнение совместности деформаций составим, используя подобие треугольников BCC_1 и BDD_1

$$\frac{CC_1}{a} = \frac{DD_1}{a+b}; \text{ где } CC_1 = \Delta l_2 / \sin\beta; DD_1 = \Delta l_1$$

Отсюда

$$\frac{\Delta l_2}{\sin 45^\circ \cdot a} = \frac{\Delta l_1}{a+b}.$$

Выразим деформации Δl_1 и Δl_2 по закону Гука через усилия N_1 и N_2 .

$$\frac{N_2 \cdot l_2}{E \cdot A_2 \cdot a \cdot \sin 45^\circ} = \frac{N_1 \cdot l_1}{E \cdot A(a+b)} \quad (2)$$

Решая совместно уравнения (1) и (2) определим искомые усилия.

$$\text{Из выражения (2)} \quad N_2 = N_1 \cdot \frac{E \cdot a \cdot \sin 45^\circ}{E \cdot (a+b)} \cdot \frac{l_1}{l_2} \cdot \frac{A_2}{A_1} = 0,5 N_1.$$

Подставляя $N_2 = 0,5 N_1$ в уравнение (1) получаем

$$N_1 = 212,44 \text{ кН},$$

тогда

$$N_2 = 106,22 \text{ кН}.$$

Площади сечения стержней подберем согласно плану решения проектировочной задачи из условия прочности второго стержня.

$$A_2 \geq \frac{N_2}{R_2} = \frac{106,22 \cdot 10^3 \text{ Н}}{230 \cdot 10^6 \text{ Па}} = 0,462 \cdot 10^{-3} \text{ м}^2 = 4,62 \text{ см}^2.$$

С учетом заданного отношения площадей

$$A_1 = \frac{A_2}{2} = \frac{4,62}{2} = 2,31 \text{ см}^2.$$

Проверим прочность первого стержня

$$\sigma_1 = \frac{N_1}{A_1} = \frac{212,44 \cdot 10^3 \text{ Н}}{2,31 \cdot 10^{-4} \text{ м}^2} = 91,9 \cdot 10^7 \text{ Па} = 919 \text{ МПа} > R_1 = 360 \text{ МПа}.$$

Условие прочности стержня 1 не удовлетворяется.

Повторяем расчёт из условия обеспечения прочности первого стержня:

$$A_1 \geq \frac{N_1}{R_1} = \frac{212,44 \cdot 10^3 H}{360 \cdot 10^6 Pa} = 0,59 \cdot 10^{-3} m^2 = 5,9 cm^2$$

Сохраняя соотношение площадей, $A_2 = 2A_1 = 11,8 cm^2$.

В первом стержне $\sigma_1 = R_1 = 360 MPa$, а во втором

$$\sigma_2 = \frac{N_2}{A_2} = \frac{106 \cdot 22 \cdot 10^3 H}{11,8 \cdot 10^{-4} m^2} = 9 \cdot 10^7 Pa = 90 MPa < R_2 = 230 MPa$$

Прочность второго стержня используется только на 39,1%, что делает систему менее экономичной и более металлоемкой.

1.2. Определение температурных напряжений в стержнях статически неопределенной системы, сечение которых подобрано в предыдущем пункте расчёта.

Пусть первый стержень нагревается до 30° . Коэффициент линейного расширения для стали $\alpha = 1,25 \cdot 10^{-5} ^\circ C^{-1}$.

При свободном расширении стержень 1 удлинился бы на величину $\Delta l_{lt} = \alpha \cdot l_1 \cdot \Delta t$. Однако такому удлинению будет

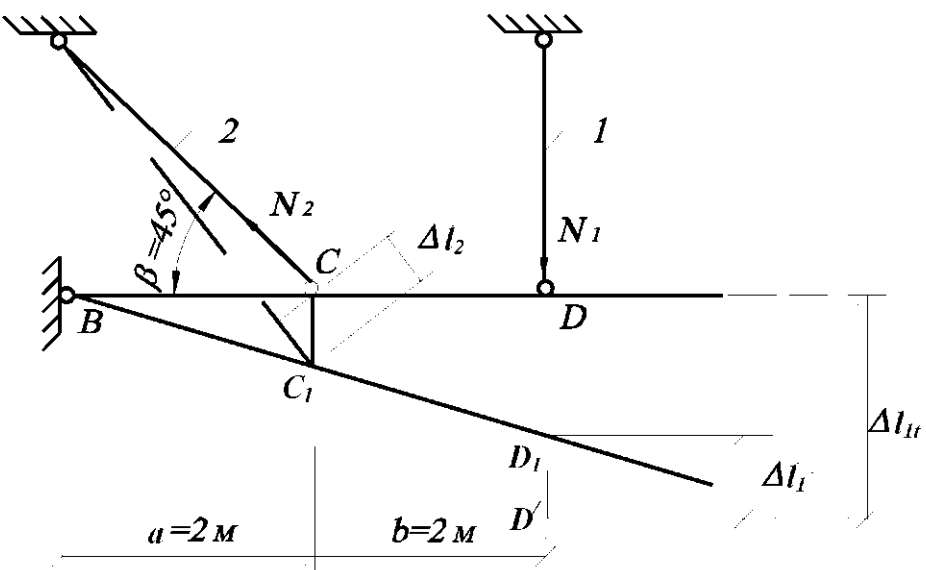


Рис. 14

препятствовать, посредством жесткого бруса BCD , стержень 2. В результате, в первом стержне появятся сжимающие напряжения, а во – втором – растягивающие. Направления внутренних температурных усилий в стержнях всегда согласованы со схемой деформаций стержней.

Используем только одно уравнение равновесия статики

$$\Sigma m_B = 0 \quad N_1(a+b) - N_2 \cdot a \cdot \sin \beta = 0 \quad (3)$$

Недостающее уравнение, связывающее неизвестные усилия в стержнях, получим из рассмотрения условия совместности деформаций. Треугольники BCC_1 и BDD_1 подобны, тогда

$$\frac{CC_1}{a} = \frac{DD_1}{a+b}; \quad CC_1 = \Delta l_2 / \sin \beta; \quad DD_1 = \Delta l_{lt} - \Delta l_1,$$

или

$$\frac{\Delta l_2}{\sin \beta \cdot a} = \frac{\Delta l_{lt} - \Delta l_1}{a+b} \quad (4)$$

Выразим деформации в уравнении (4) по закону Гука через усилия:

$$\frac{N_2 \cdot l_2}{E \cdot A_2 \cdot \sin\beta \cdot a} = \frac{\alpha \cdot l_1 \cdot \Delta t - \frac{N_1 \cdot l_1}{E \cdot A_1}}{a + b}. \quad (5)$$

Решая систему уравнений (3) и (5), получаем

$$N_2 \frac{\left(\alpha \cdot l_1 \cdot \Delta t - \frac{N_1 \cdot l_1}{E \cdot A_1} \right) EA_2 \cdot \sin\beta \cdot a}{(a + b) \cdot l_2} = \frac{\alpha \cdot l_1 \cdot \Delta t \cdot EA_2 \cdot \sin\beta \cdot a - \frac{l_1 \cdot EA_2 \cdot \sin\beta \cdot a}{EA_1} \cdot N_1}{(a + b) \cdot l_2}.$$

После подстановки в последнее выражение всех величин в основных единицах системы СИ получаем:

$$N_2 = 22782 - 0,5N_1$$

Подставляя этот результат в уравнение (3)

$$N_1 = 6843 \text{ Н} = 6,84 \text{ кН},$$

$$N_2 = 19360 \text{ Н} = 19,36 \text{ кН}.$$

Положительные значения найденных внутренних усилий подтверждают правильность направления усилий - стержень 1 сжат, стержень 2 растянут. Температурные напряжения в стержнях

$$\sigma_{1t} = \frac{N_1}{A_1} = \frac{-6843}{5,9 \cdot 10^{-4}} = -1159 \cdot 10^4 \text{ Па} = -11,6 \text{ МПа},$$

$$\sigma_{2t} = \frac{N_2}{A_2} = \frac{19360}{11,8 \cdot 10^{-4}} = 1640 \cdot 10^4 \text{ Па} = 16,4 \text{ МПа}.$$

1.3. *Определение напряжений, возникающих при сборке системы*, рассчитываемой выше. Длина стержня 2 меньше номинального размера на $\delta_2 = 0,5 \text{ мм}$.

Для выяснения направления сил, которые возникают в стержнях при сборке системы, предположим, что сборку осуществляли, растянув стержень 2 на δ_2 . Когда растянутый стержень 2 был шарниром соединен с жестким бруском и внешняя нагрузка удалена (используется принцип независимости действия сил), стержень в силу своей упругости поднял точку С бруса, повернув брус вокруг шарнира В и вызвал сжатие стержня 1. Полностью восстановить свою первоначальную длину стержень 2 не может - этому препятствует стержень 1, следовательно, стержень 2 остается растянутым на $\Delta l_2 < \delta_2$. Стержень 1 при этом сжат. На рис. 15 дано положение бруса после сборки системы, все перемещения показаны весьма преувеличенными. Усилия в стержнях строго согласованы со

схемой деформаций. Ограничимся одним уравнением статики, связывающим два неизвестных усилия, $\Sigma m_B = 0$

$$N_1 \cdot (a + b) - N_2 \cdot a \cdot \sin\beta = 0 \quad (6)$$

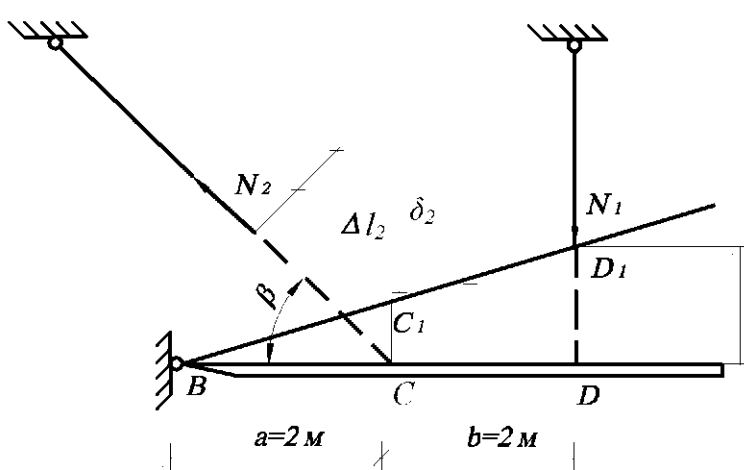


Рис. 15

Уравнение совместности деформаций составим, рассматривая подобие треугольников BCC_1 и BDD_1 :

$$\frac{CC_1}{a} = \frac{DD_1}{a+b},$$

где $CC_1 = (\delta_2 - \Delta l_2) / \sin\beta$;

$$DD_1 = \Delta l_1.$$

Тогда

$$\frac{\delta_2 - \Delta l_2}{\sin\beta \cdot a} = \frac{\Delta l_1}{a+b} \quad (7)$$

Деформации в уравнении (7) выражим по закону Гука через усилия:

$$\left(\delta_2 - \frac{N_2 \cdot l_2}{EA_2} \right) \frac{1}{\sin\beta \cdot a} = \frac{N_1 \cdot l_1}{EA_1 \cdot (a+b)} \quad (8)$$

Откуда усилие N_1

$$N_1 = \frac{\left(\delta_2 - \frac{N_2 \cdot l_2}{EA_2} \right)}{\sin\beta \cdot a} \cdot \frac{EA_1(a+b)}{l_1} =$$

$$= \frac{0,5 \cdot 10^{-3} - \frac{N_2 \cdot 2,829}{2,06 \cdot 10^{11} \cdot 11,8 \cdot 10^{-4}}}{0,707 \cdot 2} \cdot \frac{2,06 \cdot 10^{11} \cdot 5,9 \cdot 10^{-4}(2+2)}{2},$$

или после преобразований $N_1 = 8,596 \cdot 10^{-4} - 2,001 \cdot N_2$.

Подставляя этот результат в уравнение (6), находим монтажное усилие

$$N_2 = 36,5 \text{ кН}$$

Усилие в стержне 1 $N_1 = 12,9 \text{ кН}$.

Монтажные напряжения в стержнях:

в сжатом стержне 1 $\sigma_{10} = -\frac{N_1}{A_1} = -\frac{12,9 \cdot 10^3}{5,9 \cdot 10^{-4}} = -2,19 \cdot 10^7 \text{ Па} = -21,9 \text{ МПа};$

в растянутом стержне 2 $\sigma_{20} = \frac{N_2}{A_2} = \frac{36,5 \cdot 10^3}{11,8 \cdot 10^{-4}} = 3,09 \cdot 10^7 \text{ Па} = 30,9 \text{ МПа}.$

1.4. Суммарные напряжения в стержнях от совместного действия внешних факторов (нагрузки, температуры и неточности изготовления).

Результирующее напряжение в первом стержне

$$\sigma_1 = \sigma_{1F} + \sigma_{1t} + \sigma_{10} = 360 - 11,6 - 21,9 = 326,5 \text{ MPa} < R_1,$$

то же во втором

$$\sigma_2 = \sigma_{2F} + \sigma_{2t} + \sigma_{20} = 90 + 16,4 + 30,9 = 137,3 \text{ MPa} < R_2.$$

Условия прочности удовлетворяются для обоих стержней. Размеры сечений стержней 1 и 2 в случае сочетания действия всех рассмотренных факторов несколько завышены, т.е. конструкция недостаточно экономична.

2. Расчет заданной системы по методу предельного равновесия (по упругопластической стадии работы).

2.1. Определение расчетной несущей способности системы при сечениях стержней, принятых по п.1 .

При расчете конструкций из пластичных материалов за пределом упругости учитывается перераспределение усилий в системах, считаемых статически неопределенными при их упругой работе. Перераспределение усилий приводит к тому, что напряжения во всех стержнях в расчётном предельном состоянии достигают расчётного сопротивления, а система становится статически определимой.

Несущая способность системы определяется из уравнения моментов всех сил относительно шарнира B

$$F_{max} \cdot (a + b + c) - N_1 \cdot (a + b) - N_2 \cdot a \cdot \sin\beta = 0, \quad (9)$$

где $N_1 = R_1 \cdot A_1$ и $N_2 = R_2 \cdot A_2$.

Из выражения (9)

$$F_{max} = \frac{360 \cdot 10^6 \cdot 5,9 \cdot 10^{-4} \cdot (2+2) + 230 \cdot 10^6 \cdot 11,8 \cdot 10^{-4} \cdot 2 \cdot 0,707}{2+2+1} = 246,6 \text{ kH}$$

Превышение расчётной несущей способности над заданной нагрузкой ($F=200 \text{ kH}$) составило

$$\Delta F = \frac{F_{max} - F}{F} \cdot 100\% = 23,3\%$$

2.2. Подбор сечений стержней, при заданной нагрузке.

В уравнении равновесия $\Sigma m_B = 0$, аналогичному (9)

$$F \cdot (a + b + c) - R_1 \cdot A_1(a + b) - R_2 \cdot A_2 \cdot a \cdot \sin\beta = 0$$

неизвестным оказывается требуемая площадь сечения стержней, (соотношение площадей сохраняется неизменным $A_2 / A_1 = 2$),

тогда

$$A_1 = \frac{F(a+b+c)}{R_1 \cdot (a+b) + 2R_2 \cdot a \cdot \sin\beta} = \frac{200 \cdot 10^3 \cdot 5}{360 \cdot 10^6 \cdot 4 + 2 \cdot 230 \cdot 10^6 \cdot 2 \cdot 0,707} = 4,78 \text{ см}^2$$

и $A_2 = 2A_1 = 9,56 \text{ см}^2$.

Суммарная площадь двух стержней $A_{tot}^{pl} = A_1 + A_2 = 14,34 \text{ см}^2$, против суммарной площади тех же стержней системы, определенной по упругой стадии $A_{tot}^e = 5,9 + 11,8 = 17,7 \text{ см}^2$.

Снижение расхода материала двух стержней при расчете статически неопределенной системы по методу предельного равновесия составило

$$\Delta A = \frac{A_{tot}^e - A_{tot}^{pl}}{A_{tot}^{pl}} \cdot 100\% = \frac{17,7 - 14,34}{14,34} \cdot 100\% = 23,4\%.$$

В завершении примера расчёта статически неопределенных систем отметим, что учёт температурных напряжений, начальных (монтажных) напряжений, равно как и осадки опор в методе расчёта по предельному равновесию, излишен. Поскольку еще в предшествующий состоянию предельного равновесия момент система становится статически определимой, для которой указанные воздействия влияния не оказывают.

Задача 3 (рис. 16)

Постановку задачи см. в практической части задания к курсовой работе (задача 3).

Исходные данные.

Сложное сечение состоит из двух составляющих: 1 – швеллер № 20, 2 – прямоугольник с размерами $h_2 = 1 \text{ см}$, $b_2 = 12 \text{ см}$. Ось Y проходит через центр тяжести обоих составляющих (рис. 16, а).

Решение.

1. Геометрические характеристики швеллера относительно его собственных центральных осей (рис. 16, б) согласно ГОСТ 8240-72 следующие:

площадь $A_1 = 23,4 \text{ см}^2$,

высота сечения $h_1 = 20 \text{ см}$,

моменты инерции $I_{X_1} = 1520 \text{ см}^4$, $I_{Y_1} = 113 \text{ см}^4$,

абсцисса центра тяжести швеллера $x_0 = 2,07 \text{ см}$.

(ГОСТ прокатных профилей есть в приложениях всех литературных источников, приведённых в списке литературы).

Здесь и далее индекс в нижнем правом углу означает номер простой составляющей сечения. Например, швеллер, согласно принятой в задаче нумерации, имеет номер 1.

Геометрические характеристики прямоугольника относительно его собственных центральных осей (рис. 16, в) следующие:

$$\text{площадь } A_2 = h_2 \cdot b_2 = 1 \cdot 12 = 12 \text{ см}^2,$$

моменты инерции относительно собственных центральных осей

$$I_{X_2} = b_2 h_2^3 / 12 = 12 \cdot 1^3 / 12 = 1 \text{ см}^4, I_{Y_2} = h_2 b_2^3 / 12 = 1 \cdot 12^3 / 12 = 144 \text{ см}^4.$$

2. Построение сечения в масштабе (см. рис. 16, а).

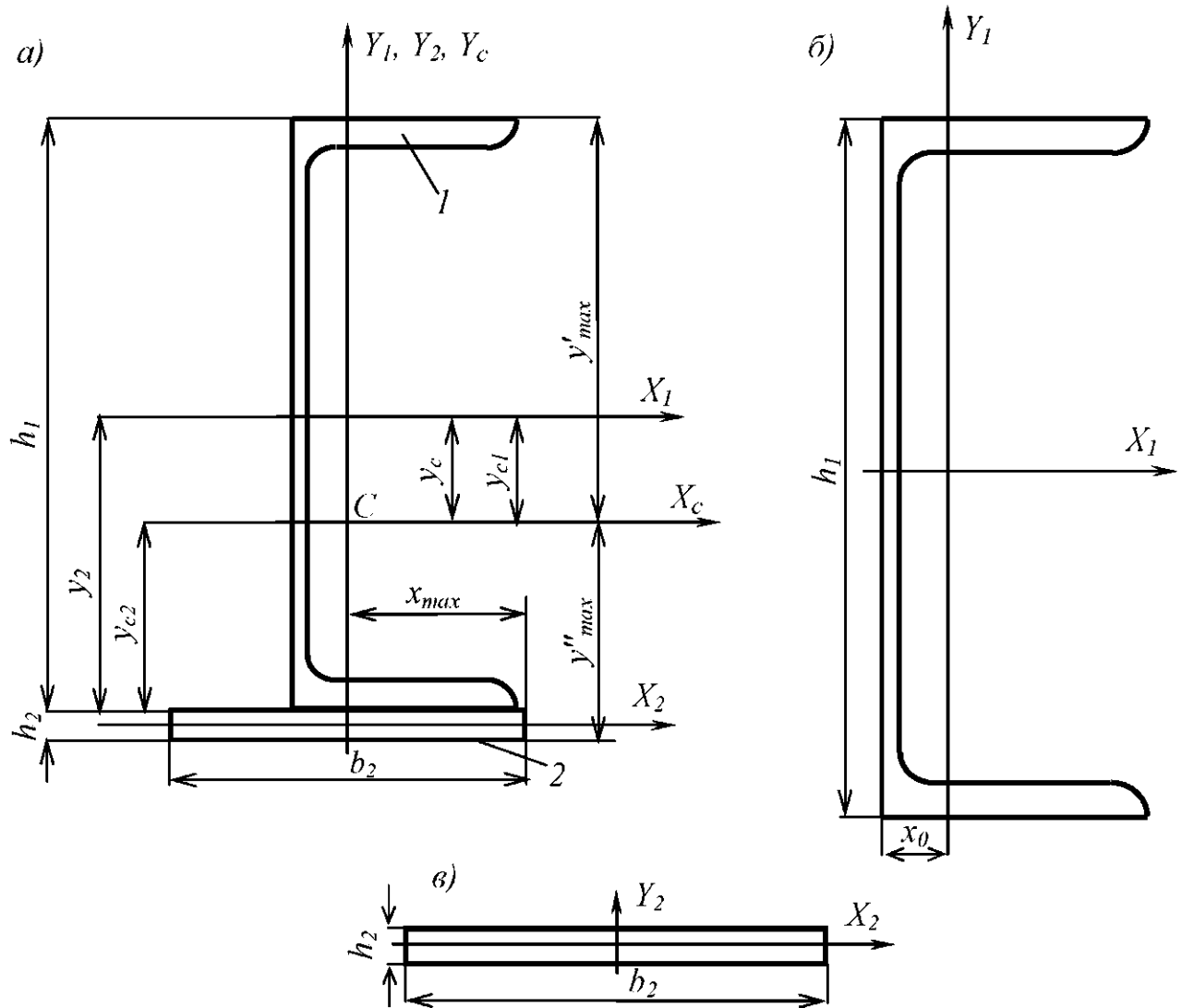


Рис. 16

3. Определение координаты центра тяжести сечения.

- Строим вспомогательную систему координат. В качестве вспомогательной системы координат выбираем центральные оси швеллера X_1 и Y_1 .
- Определяем координаты центра тяжести сечения относительно вспомогательной системы координат. Для рассматриваемого сечения необходимо вычислить только одну координату y_c , так как другая координата x_c известна. Поскольку центр тяжести всего сечения должен лежать на прямой, соединяющей центры тяжести простых составляющих (это правило действительно для сечений, состоящих из двух частей), то в нашем случае центр тяжести лежит на оси Y_1 (см. рис. 16, а), а значит координата $x_c = 0$.

Координата центра тяжести (к. ц. т.) сечения y_c определяется по формуле:

$$y_c = S_x / A,$$

где A – площадь всего сечения; S_x - статический момент всего сечения относительно оси X . Для рассматриваемого примера статический момент сечения следует обозначить, как S_{X_1} , так как y_c определяется относительно оси X_1 .

Рассматриваемое сечение сложное. Для определения статического момента сложного сечения существует формула

$$S_x = \sum_{i=1}^n {}^i S_{X_i} = \sum_{i=1}^n y_i A_i,$$

где n – число простых составляющих сложного сечения; ${}^i S_{X_i}$ - статический момент i -й составляющей сложного сечения; y_i , A_i - координата центра тяжести и площадь i -й составляющей сложного сечения. Применимально к нашей задаче формула примет следующий вид:

$$S_{X_1} = {}^1 S_{X_1} + {}^2 S_{X_1} = y_1 A_1 + y_2 A_2.$$

Так как координата y в прямоугольной системе координат представляет собой кратчайшее расстояние (перпендикуляр) от центра тяжести соответствующей фигуры до оси X , то:

$$y_1 = 0, y_2 = -\left(\frac{h_2}{2} + \frac{h_1}{2}\right) = -\left(\frac{1}{2} + \frac{20}{2}\right) = -10,5 \text{ см};$$

A_1 и A_2 определены в пункте I. Подставим в формулу полученные значения:

$$S_{X_1} = 0 \cdot 23,4 + (-10,5 \cdot 12) = -126 \text{ см}^3.$$

Площадь сложного сечения $A = \sum_{i=1}^n A_i$. Тогда для рассматриваемого случая:

$$A = A_1 + A_2 = 23,4 + 12 = 35,4 \text{ см}^2.$$

Следовательно,

$$y_c = \frac{S_{X_1}}{A} = \frac{-126}{35,4} = -3,56 \text{ см}.$$

Для случая, когда неизвестной является координата x_c , задача решается аналогично с учётом соответствующих изменений.

- Показываем на чертеже центральные оси всего сечения X_c и Y_c . Причём эти оси строим параллельно вспомогательным осям, как показано на рис. 16, а.

4. Проводим проверку правильности определения центра тяжести сечения.

В основе проверки лежит положение о том, что статические моменты сечения относительно центральных осей равны нулю. Значит, в нашем случае следует вычислить статические моменты сечения относительно полученных центральных осей X_c и Y_c , при этом координаты ц. т. простых составляющих относительно этих осей:

$$\begin{aligned}x_{c1} &= x_1 - x_c = 0 - 0 = 0 \text{ см}, & x_{c2} &= x_2 - x_c = 0 - 0 = 0 \text{ см}; \\y_{c1} &= y_1 - y_c = 0 - (-3,56) = 3,56 \text{ см}, \\y_{c2} &= y_2 - y_c = -10,5 - (-3,56) = -6,94 \text{ см}.\end{aligned}$$

Статические моменты сечения относительно осей X_c и Y_c :

$$\begin{aligned}S_{X_c} &= {}^1S_{X_c} + {}^2S_{X_c} = y_{c1}A_1 + y_{c2}A_2 = 3,56 \cdot 23,4 + (-6,94) \cdot 12 = 83,30 - 83,28 = 0,02 \approx 0 \\S_{Y_c} &= 0. \text{ Иными словами, координаты ц. т. всего сечения вычислены правильно.}\end{aligned}$$

5. Определяем главные центральные моменты инерции сечения.

- Вычисляем центробежный момент инерции всего сечения.

Ось Y_c - центральная ось всего сечения и Y_1 , Y_2 - центральные оси простых составляющих – совпадают. Оси X_1 и Y_1 - главные оси швеллера, значит центробежный момент инерции швеллера относительно них $I_{X_1 Y_1} = 0$. Оси X_2 и Y_2 - главные оси прямоугольника (так как оси X_2 и Y_2 - оси симметрии прямоугольника), то есть $I_{X_2 Y_2} = 0$. В этом случае центробежный момент инерции всего сечения в соответствии с формулой изменения центробежных моментов инерции при параллельном переносе осей (см. теорию):

$$I_{X_c Y_c} = {}^1I_{X_c Y_c} + {}^2I_{X_c Y_c} = (I_{X_1 Y_1} + x_{c1} y_{c1} A_1) + (I_{X_2 Y_2} + x_{c2} y_{c2} A_2) = (0 + 0) + (0 + 0) = 0.$$

- Находим главные оси всего сечения.

Так как центробежный момент инерции сечения относительно главных осей равен нулю, то в нашем случае оси X_c и Y_c - главные оси инерции всего сечения.

- Вычисляем главные центральные моменты инерции всего сечения.

Поскольку главными центральными моментами инерции являются моменты инерции относительно главных центральных осей, то вычисления моментов инерции будем производить относительно осей X_c и Y_c .

Воспользовавшись формулой определения осевых моментов инерции сложного сечения и формулой перехода между параллельными осями для осевых моментов инерции (см. теорию), получим

$$I_{X_c} = {}^1I_{X_c} + {}^2I_{X_c} = (I_{X_1} + y_{c1}^2 A_1) + (I_{X_2} + y_{c2}^2 A_2) = (1520 + 3,56^2 \cdot 23,4) + \\ + (1 + (-6,94)^2 \cdot 12) = 2395,52 \text{ см}^4,$$

$$I_{Y_c} = {}^1I_{Y_c} + {}^2I_{Y_c} = (I_{Y_1} + x_{c1}^2 A_1) + (I_{Y_2} + x_{c2}^2 A_2) = (113 + 0^2 \cdot 23,4) + (144 + 0^2 \cdot 12) = 257 \text{ см}^4.$$

6. Определяем значения осевых моментов сопротивления.

Оевые моменты сопротивления в нашем случае вычисляются по формулам

$$W_{X_c} = I_{X_c} / y_{max}; \quad W_{Y_c} = I_{Y_c} / x_{max},$$

где x_{max} и y_{max} - расстояния от соответствующих осей до наиболее удалённых точек сечения (см. рис. 16, а).

Здесь:

$$x_{max} = \frac{b_2}{2} = 6 \text{ см};$$

$$y'_{max} = \frac{h_1}{2} + y_c = 10 + 3,56 = 13,56 \text{ см};$$

$$y''_{max} = \frac{h_1}{2} - y_c + h_2 = 10 - 3,56 + 1 = 7,44 \text{ см}.$$

Тогда: $W'_{X_c} = 2395,52 / 13,56 = 176,66 \text{ см}^3$; $W''_{X_c} = 2395,52 / 7,44 = 321,98 \text{ см}^3$;

$$W_{Y_c} = 257 / 6 = 42,83 \text{ см}^3.$$

Задача 4

Схема «а» (рис. 17)

Постановку задачи см. в практической части задания к курсовой работе (задача 4, схема «а»).

Исходные данные.

$$F = 15 \text{ кН}, q = 10 \text{ кН/м}, a_1 = 2 \text{ м}, a_2 = 1 \text{ м}, R = 200 \text{ МПа}.$$

Решение.

1. Построим эпюры поперечных сил Q и изгибающих моментов M .

- Получим выражения для Q и M по участкам. Заданная балка имеет два участка нагружения: по длине первого участка распределена равномерная нагрузка q , прекращение действия которой означает начало второго участка (см. рис. 17, а). На рис. z_1 и z_2 - координаты поперечных сечений первого и второго участков. Для каждого участка выбирается своя система координат.

$$I\text{-й участок: } 0 \leq z_1 \leq a_1$$

Рассматривая равновесие левой отсечённой части балки (см. рис. 17, б), запишем выражения для $Q(z_1)$ и $M(z_1)$

$$Q(z_1) = F - q z_1. \quad (10)$$

$$M(z_1) = F z_1 - q z_1 \cdot \frac{z_1}{2}. \quad (11)$$

Выражение (10) представляет собой уравнение наклонной прямой. Для её построения достаточно вычислить поперечную силу в двух точках:

в начале участка при $z_1 = 0$, $Q(z_1) = F = 15 \text{ кН}$;

в конце участка при $z_1 = a_1 = 2 \text{ м}$, $Q(z_1) = F - q a_1 = 15 - 10 \cdot 2 = -5$.

Отметим, что на рассматриваемом участке поперечная сила меняет знак, пересекая ось эпюры. Согласно дифференциальной зависимости между Q и M в сечении, где $Q = 0$ (см. ответ на вопрос 3 раздела 6), изгибающий момент принимает экстремальное значение.

Определим координату интересующего нас сечения.

$$\text{При } z_1 = z_0 \quad Q(z_0) = F - q z_0 = 0 \Rightarrow z_0 = \frac{F}{q} = \frac{15}{10} = 1,5 \text{ м}$$

Эпюра изгибающих моментов M представляет квадратную параболу (выражение (11)), для её построения подсчитаем координаты M в трёх точках:

$$z_1 = 0, \quad M(z_1) = 0;$$

$$z_1 = a_1 = 2 \text{ м} \quad M(z_1) = F a_1 - \frac{q a_1^2}{2} = 15 \cdot 2 - \frac{10 \cdot 2^2}{2} = 10 \text{ кН} \cdot \text{м};$$

$$z_1 = z_0 = 1,5 \text{ м} \quad M(z_0) = F z_0 - \frac{q z_0^2}{2} = 15 \cdot 1,5 - \frac{10 \cdot 1,5^2}{2} = 11,25 \text{ кН} \cdot \text{м}.$$

II –й участок:

$$0 \leq z_2 \leq a_2$$

Рассматривая равновесие левой части, отсечённой сечением с координатой z_2 (см. рис. 17, б), запишем выражения для $Q(z_2)$ и $M(z_2)$.

$$Q(z_2) = F - q a_1 = 15 - 10 \cdot 2 = -5 \text{ кН} = \text{const.}$$

Полученное выражение представляет собой уравнение прямой, параллельной оси эпюры.

$$M(z_2) = F(a_1 + z_2) - q a_1 (0,5 a_1 + z_2).$$

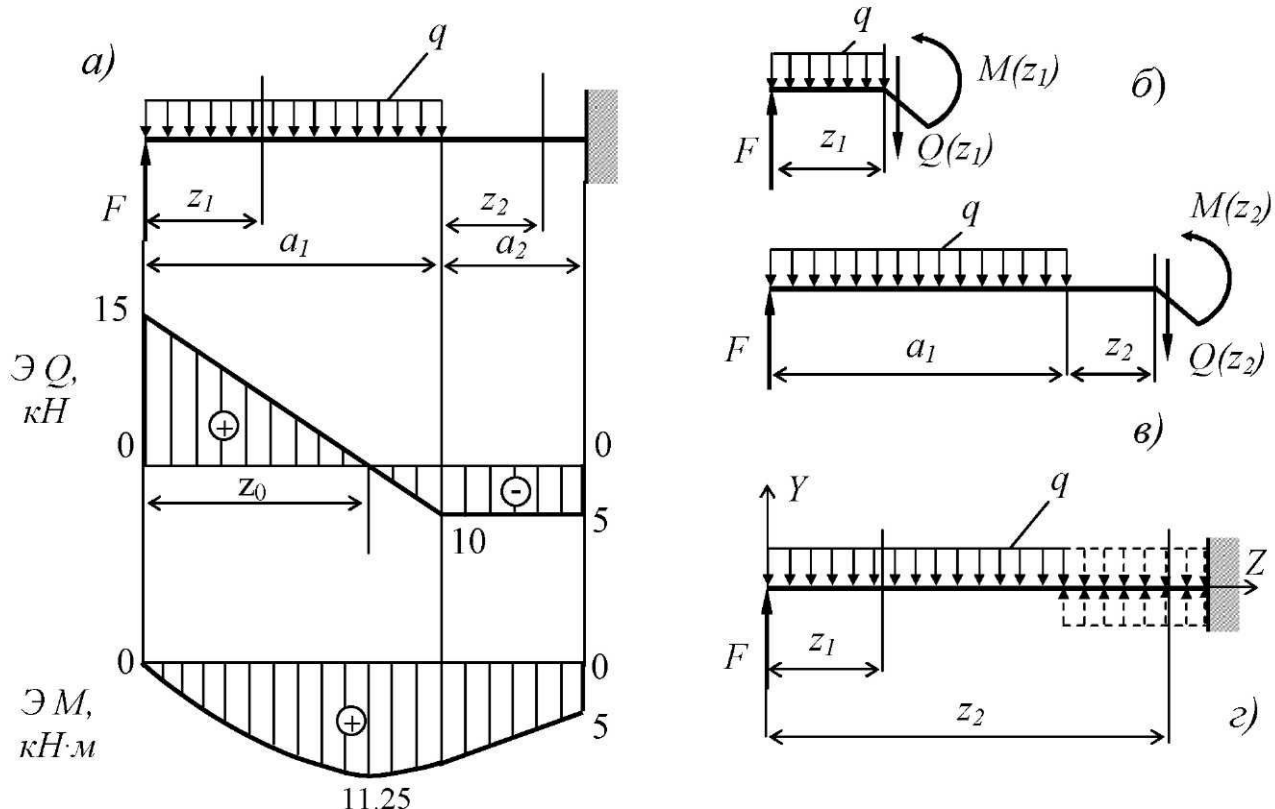


Рис. 17

В данном случае мы получили уравнение прямой, наклонной к оси эпюры. Для её построения определим координаты двух крайних точек.

$$z_2 = 0, \quad M(z_2) = F a_1 - 0,5 q a_1^2 = 15 \cdot 2 - 0,5 \cdot 10 \cdot 2^2 = 10 \text{ кН} \cdot \text{м};$$

$$z_2 = a_2 = 1 \text{ м}, \quad M(z_2) = F(a_1 + a_2) - q a_1 (0,5 a_1 + a_2) = 15(2+1) - 10 \cdot 2(0,5 \cdot 2 + 1) = 5 \text{ кН} \cdot \text{м}.$$

- Строим эпюры Q и M . Результат представлен на рис. 17, а.

2. Проверка прочности балки проводится по поперечному сечению, рассмотренному в задаче 3, где изгибающий момент на эпюре достигает наибольшего значения независимо от знака.

Для этого следует воспользоваться формулой:

$$\sigma_{max} = \frac{M_{max}}{W_x} = \frac{11,25 \cdot 10^3}{176,66 \cdot 10^{-6}} = 0,06368 \cdot 10^9 Pa = 63,68 MPa < R = 200 MPa,$$

следовательно, прочность обеспечена.

3. Определяем коэффициент использования прочности стали

$$\Delta = \frac{\sigma_{max}}{R} \cdot 100 \% = \frac{63,68}{200} \cdot 100 \% = 31,84 \%.$$

Коэффициент использования прочности составляет около 32%. В хорошо подобранных сечениях перенапряжение или недонапряжение не превышает $\pm 5\%$.

4. Определяем прогиб конца консоли аналитическим методом

- Составляем приближённые дифференциальные уравнения изогнутой оси балки по участкам с соблюдением условий Клебша (см. ответ на вопрос 11 раздела 6).

Необходимо отметить, что в этом случае выбирается только одна система координат с началом в крайней левой точке балки (см. рис. 17, ε). Если в этой точке балка жёстко или шарнирно зафиксирована, то прежде чем приступить к составлению уравнений, необходимо определить реакции в опорах.

Для нашего случая:

$$\text{I -й участок: } 0 \leq z_1 \leq a_1, \quad EI_X y''(z_1) = F z_1 - \frac{q z_1^2}{2};$$

$$\text{II -й участок: } a_1 \leq z_2 \leq (a_1 + a_2), \quad EI_X y''(z_2) = F z_2 - \frac{q z_2^2}{2} + \frac{q(z_2 - a_1)^2}{2}.$$

- Дважды интегрируем дифференциальные уравнения

$$\text{I-é ó÷àñòîê} \quad \begin{cases} EI_X y'(z_1) = F z_1^2 / 2 - q z_1^3 / 6 + C_1 \\ EI_X y(z_1) = F z_1^3 / 6 - q z_1^4 / 24 + C_1 z_1 + D_1. \end{cases} \quad (12)$$

$$(13)$$

$$\text{II-é ó÷àñòîê} \quad \begin{cases} EI_X y'(z_2) = F z_2^2 / 2 - q z_2^3 / 6 + q(z_2 - a_1)^3 / 6 + C_2 \\ EI_X y(z_2) = F z_2^3 / 6 - q z_2^4 / 24 + q(z_2 - a_1)^4 / 24 + C_2 z_2 + D_2. \end{cases} \quad (14)$$

- Рассматриваем граничные условия и доказываем равенство постоянных интегрирования на обоих участках

При $z_1 = z_2 = a_1$ (на границе двух смежных участков балки) $y'_1 = y'_2$, $y_1 = y_2$, так как они являются углами поворота и прогибами, соответственно, одного и того же сечения.

Тогда, учитывая формулы (12) и (14), получим:

$$\frac{Fa_1^2}{2} - \frac{qa_1^3}{6} + C_1 = \frac{Fa_1^2}{2} - \frac{qa_1^3}{6} + \frac{q(a_1 - a_1)^3}{6} + C_2, \quad \text{откуда } C_1 = C_2 = C.$$

Приравнивая прогибы, из выражений (13) и (15) имеем:

$$\frac{Fa_1^3}{6} - \frac{qa_1^4}{24} + Ca_1 + D_1 = \frac{Fa_1^3}{6} - \frac{qa_1^4}{24} + \frac{q(a_1 - a_1)^4}{24} + Ca_1 + D_2, \text{ откуда } D_1 = D_2 = D.$$

Следовательно, приём Клебша сводит решение задачи к вычислению только двух постоянных интегрирования C, D .

- Из начальных условий определяем значения постоянных интегрирования C и D

Первое условие: при $z_2 = a_1 + a_2 = 3 \text{ м}$, $y'(z_2) = 0$, в защемленном конце балки угол поворота равен нулю. Тогда, согласно уравнению (14):

$$EI_X y'_{(z_2=3)} = 15 \cdot 3^2 / 2 - 10 \cdot 3^3 / 6 + 10 \cdot (3 - 2)^3 / 6 + C = 0.$$

Откуда

$$C = -24,2 \text{ кН} \cdot \text{м}^2.$$

Второе условие: при $z_2 = a_1 + a_2 = 3 \text{ м}$, $y(z_2) = 0$, так как в заделке балки прогиб равен нулю. Из выражения (15) найдем вторую постоянную интегрирования

$$EI_X y_{(z_2=3)} = 15 \cdot 3^3 / 6 - 10 \cdot 3^4 / 24 + 10 \cdot (3 - 2)^4 / 24 + C \cdot 3 + D = 0.$$

Откуда

$$D = 33,4 \text{ кН} \cdot \text{м}^3.$$

- Вычисляем прогиб конца консоли

Для этого воспользуемся формулой (13), при $z_1 = 0$:

$$y(z_1) = D/EI_X = \frac{38,4 \cdot 10^3}{2 \cdot 10^{11} \cdot 2395,52 \cdot 10^{-8}} = 8 \cdot 10^{-3} \text{ м} = 8 \text{ мм}.$$

Согласно принятому направлению координатных осей (см. рис. 17, ε), при решении задачи аналитическим методом знак «+» указывает на то, что прогиб конца консоли балки направлен вверх.

Задача 4

Схема «б» (рис. 18)

Постановку задачи см. в практической части задания к курсовой работе (задача 4, схема «б»).

Исходные данные.

$$M = 20 \text{ кН} \cdot \text{м}, q = 16 \text{ кН}/\text{м}, a_1 = 1 \text{ м}, a_2 = 2 \text{ м}, R = 160 \text{ МПа}.$$

Решение.

1. Построим эпюры Q и M .

- Определяем опорные реакции балки. Заданная балка зафиксирована в двух сечениях с помощью шарнирно-подвижной и шарнирно-неподвижной опор (см. рис. 18). Характер прикладываемой нагрузки обуславливает необходимость определения только вертикальных реакций опор R_A и R_B , так как горизонтальная составляющая реакции в опоре A равна нулю ($H_A = 0$).

$$\sum M_A = 0, R_B a_2 - qa_2 \frac{a_2}{2} - M = 0 \Rightarrow R_B = \frac{0,5 \cdot qa_2^2 + M}{a_2} = \frac{0,5 \cdot 16 \cdot 2^2 + 20}{2} = 26 \text{ кН}.$$

$$\sum M_B = 0, -R_A a_2 - M + qa_2 \frac{a_2}{2} = 0 \Rightarrow R_A = \frac{0,5 \cdot qa_2^2 - M}{a_2} = \frac{0,5 \cdot 16 \cdot 2^2 - 20}{2} = 6 \text{ кН}.$$

Проверка: $\sum Y = 0, R_A + R_B - qa_2; 6 + 26 - 32 = 0; 0 \equiv 0$.

Полученное тождество свидетельствует о правильности результатов.

- Записываем уравнения для Q и M по участкам. Для каждого участка выбирается своя система координат

I –й участок: $0 \leq z_1 \leq a_1$

Рассматриваем равновесие левой части балки

$$Q(z_1) = 0, M(z_1) = M = 20 \text{ кН} \cdot \text{м} = \text{const}.$$

II –й участок: $0 \leq z_2 \leq a_2$

Рассматриваем равновесие правой части балки

$$Q(z_2) = -R_B + qz_2.$$

$$z_2 = 0, Q(z_2) = -R_B = -26 \text{ кН}; z_2 = a_2, Q(z_2) = -R_B + qa_2 = -26 + 32 = 6 \text{ кН}.$$

$$M(z_2) = R_B \cdot z_2 - 0,5 \cdot qz_2^2.$$

$$z_2 = 0, M(z_2) = 0;$$

$$z_2 = a_2 = 2 \text{ м}, M(z_2) = R_B \cdot a_2 - 0,5 \cdot qa_2^2 = 26 \cdot 2 - 0,5 \cdot 16 \cdot 2^2 = 20 \text{ кН} \cdot \text{м}$$

$$\text{При } z_2 = z_0 \quad Q(z_0) = -R_B + qz_0 = 0 \quad \Rightarrow \quad z_0 = \frac{R_B}{q} = \frac{26}{16} = 1,625 \text{ м},$$

$$\text{тогда } M(z_0) = R_B z_0 - \frac{qz_0^2}{2} = 26 \cdot 1,625 - \frac{16 \cdot 1,625^2}{2} = 21,125 \text{ кН} \cdot \text{м}$$

- Строим эпюры Q и M . Результат представлен на рис. 18.

2. Подбор сечений указанных в задании форм.

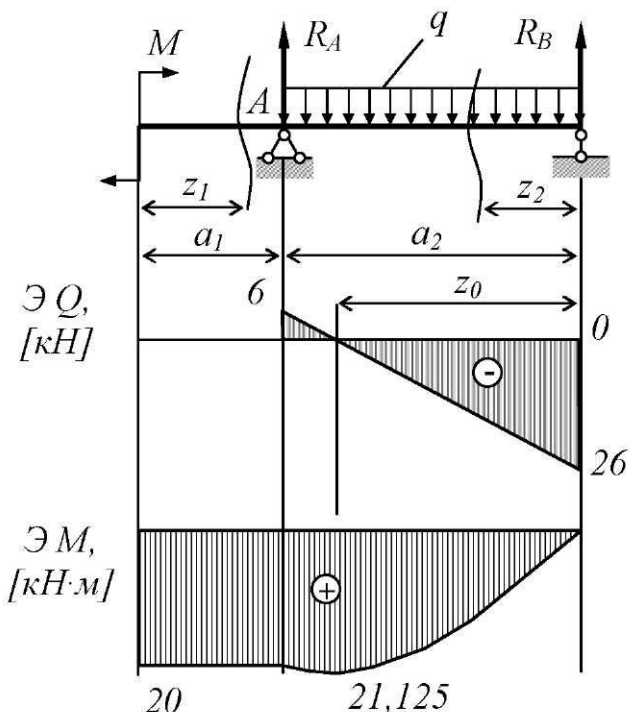


Рис. 18

Условие прочности при изгибе по нормальным напряжениям для пластичных материалов:

$$\sigma_{max} = \frac{|M_{max}|}{W_X} \leq R$$

Отсюда требуемый момент сопротивления

$$W_X^{mp} \geq \frac{|M_{max}|}{R}.$$

При $M_{max} = 21,125 \text{ kH} \cdot \text{м}$, предельное значение момента сопротивления:

$$W_X = \frac{21,125 \cdot 10^3}{160 \cdot 10^6} = 0,132 \cdot 10^{-3} \text{ M}^3 = \\ = 132 \text{ cM}^3.$$

- Подбираем прямоугольное сечение. Соотношение сторон $h/b = 2$ (рис. 19).

Так как для прямоугольного сечения момент сопротивления относительно оси X (см. рис. 19) $W_X = bh^2/6$ и по условию $b = h/2$, то:

$$h = \sqrt[3]{12W_X} = \sqrt[3]{12 \cdot 0,132 \cdot 10^{-3}} = 0,1166 \text{ m} = 11,66 \text{ cm},$$

$$b = h/2 = 11,66/2 = 5,83 \text{ cm},$$

$$A^{np} = h \cdot b = 0,1166 \cdot 0,0583 = 67,98 \cdot 10^{-4} \text{ m}^2.$$

- Подбираем круглое сечение.

Для круглого сечения осевой момент сопротивления (рис. 20)
 $W_x = \pi \cdot D^3 / 32$; тогда

$$D = \sqrt[3]{32W_X/\pi} = \sqrt[3]{32 \cdot 0,132 \cdot 10^{-3}/\pi} = 0,1104 \text{ m} = 11 \text{ cm};$$

$$A^{kp} = \pi \cdot D^2 / 4 = \pi \cdot 0,1104^2 / 4 = 0,0096 \text{ m}^2.$$

- Подбираем кольцевое сечение. Отношение диаметров $\alpha = d/D = 0,8$ (рис. 21).

Для кольцевого сечения осевой момент сопротивления $W_X = \pi \cdot D^3 / 32 \cdot (1 - \alpha^4)$. Тогда

$$D = \sqrt[3]{\frac{32W_X}{\pi(1-\alpha^4)}} = \sqrt[3]{\frac{32 \cdot 0,132 \cdot 10^{-3}}{\pi \cdot (1-0,8^4)}} = 0,1316 \text{ m} = 13,16 \text{ cm};$$

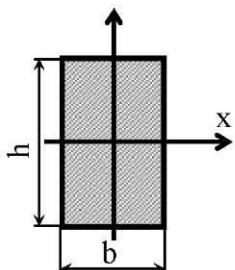
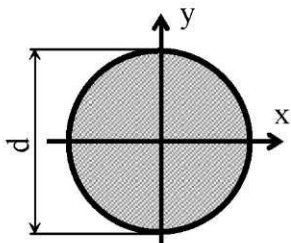


Рис. 19



(см. решение задачи 3, пункт VI).

С учётом того, что рассматриваемое сечение состоит из двух равных частей (рис. 22)

$$W_X = \frac{I_X^{u\text{v}1} + I_X^{u\text{v}2}}{y_{max}} = \frac{2 \cdot I_X^{u\text{v}}}{y_{max}} = 2 \cdot \frac{I_X^{u\text{v}}}{y_{max}} = 2 \cdot W_X^{u\text{v}}.$$

Требуемый момент сопротивления одного швеллера

$$W_X^{u\text{v}} = 0,066 \text{ м}^3 = 66 \text{ см}^3.$$

По таблице ГОСТ 8240-89 выбираем швеллер № 14 с ближайшим большим моментом сопротивления $W_X^{u\text{v}} = 70,2 \text{ см}^3$. Площадь сечения балки из двух швеллеров:

$$A = 2 \cdot A_{\text{швеллер}}^{u\text{v}} = 2 \cdot 15,6 \cdot 10^{-4} = 31,2 \cdot 10^{-4} \text{ м}^2 = 31,2 \text{ см}^2$$

- Подбираем двутавровое сечение.

Как и в предыдущих четырех случаях, момент сопротивления двутавра W_X (рис. 23) должен быть не менее требуемого

$$W_X = \frac{21,125 \cdot 10^3}{160 \cdot 10^6} = 0,132 \cdot 10^{-3} \text{ м}^3 = 132 \text{ см}^3.$$

По таблице ГОСТ 8239-89 принимаем двутавровую балку № 18 с ближайшим значением момента сопротивления, значение которого отвечает условию проектной задачи:

$$W_X^{\text{двтв}} = 143 \text{ см}^3; \quad A^{\text{двтв}} = 23,4 \text{ см}^2.$$

3. Оцениваем эффективность формы сечения.

Для чего сравниваем площади всех подобранных сечений.

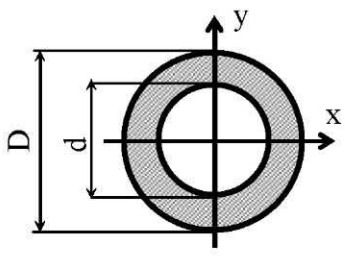


Рис. 21

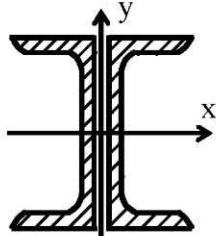


Рис. 22

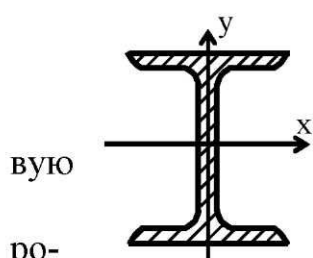


Рис. 23

$$d = D \cdot 0,8 = 0,1316 \cdot 0,8 = 0,1053 \text{ м} = 10,53 \text{ см};$$

$$A^{u\text{v}} = \pi \cdot D^2 \cdot (1 - \alpha^2) / 4 = \pi \cdot 0,1316^2 (1 - 0,8^2) / 4 = 48,97 \cdot 10^{-4} \text{ м}^2.$$

- Подбираем сечение, состоящее из двух швеллеров.

В основе определения осевого момента сопротивления лежит соотношение

$$W_X = I_X / y_{max}$$

(см. решение задачи 3, пункт VI).

С учётом того, что рассматриваемое сечение состоит из двух равных частей (рис. 22)

$$W_X = \frac{I_X^{u\text{v}1} + I_X^{u\text{v}2}}{y_{max}} = \frac{2 \cdot I_X^{u\text{v}}}{y_{max}} = 2 \cdot \frac{I_X^{u\text{v}}}{y_{max}} = 2 \cdot W_X^{u\text{v}}.$$

Требуемый момент сопротивления одного швеллера

$$W_X^{u\text{v}} = 0,066 \text{ м}^3 = 66 \text{ см}^3.$$

По таблице ГОСТ 8240-89 выбираем швеллер № 14 с ближайшим большим моментом сопротивления $W_X^{u\text{v}} = 70,2 \text{ см}^3$. Площадь сечения балки из двух швеллеров:

$$A = 2 \cdot A_{\text{швеллер}}^{u\text{v}} = 2 \cdot 15,6 \cdot 10^{-4} = 31,2 \cdot 10^{-4} \text{ м}^2 = 31,2 \text{ см}^2$$

- Подбираем двутавровое сечение.

Как и в предыдущих четырех случаях, момент сопротивления двутавра W_X (рис. 23) должен быть не менее требуемого

$$W_X = \frac{21,125 \cdot 10^3}{160 \cdot 10^6} = 0,132 \cdot 10^{-3} \text{ м}^3 = 132 \text{ см}^3.$$

По таблице ГОСТ 8239-89 принимаем двутавровую балку № 18 с ближайшим значением момента сопротивления, значение которого отвечает условию проектной задачи:

$$W_X^{\text{двтв}} = 143 \text{ см}^3; \quad A^{\text{двтв}} = 23,4 \text{ см}^2.$$

$$\frac{A^{np}}{A^{\partial\theta}} = \frac{67,98}{23,40} = 2,91; \quad \frac{A^{kp}}{A^{\partial\theta}} = \frac{96,00}{23,40} = 4,10;$$

$$\frac{A^{кц}}{A^{\partial\theta}} = \frac{48,97}{23,40} = 2,09; \quad \frac{A^{шв}}{A^{\partial\theta}} = \frac{31,20}{23,40} = 1,33.$$

Наиболее эффективной формой сечения балки (балка с наименьшим весом) является двутавровое сечение, наименее эффективной – круглое сплошное сечение.

Задача 5 (рис. 24)

Постановку задачи см. в практической части задания к курсовой работе (задача 5).

Исходные данные.

$F = 15 \text{ кН}$, $q = 10 \text{ кН}/\text{м}$, $a_1 = 1 \text{ м}$, $a_2 = 2 \text{ м}$, жесткость балки (EI_X) - постоянная.

Решение.

Определение вертикального перемещения сечения «В» выполняется в следующей последовательности:

- Строим эпюру изгибающих моментов от заданной нагрузки, то есть грузовую эпюру (рис. 24, б).
- Рассматриваем единичное состояние системы: к заданной конструкции в требуемом направлении прикладываем единичную безразмерную силу в том сечении, линейное перемещение которого требуется определить (рис. 24, в).
- Строим единичную эпюру, то есть эпюру изгибающих моментов от единичной нагрузки (рис. 24, г).
- Приводим в соответствие участки грузовой и единичной эпюр: каждому участку грузовой эпюры должен соответствовать участок единичной эпюры, ограниченный прямой (не ломаной) линией.

В примере вдоль всей длины балки единичная эпюра ограничена прямой, однако её следует разбить на два участка, так как грузовая эпюра состоит из двух участков, площади которых ω_1 и ω_2 (см. рис. 24, б).

- Определяем площади отдельных участков грузовой эпюры и соответствующие им абсциссы центров тяжести.

Так как участки грузовой эпюры представляют собой фигуры, площади и центры тяжести которых определить затруднительно, разобьём их на более простые составляющие с площадями ω'_1 , ω''_1 , ω'_2 , ω''_2 (см. рис. 20, б).

$$\omega'_1 = 0,5 \cdot 5 \cdot a_1 = 2,5 \text{ кН} \cdot \text{м}^2; \quad z'_{c1} = \frac{1}{3} a_1;$$

$$\omega''_1 = 5 \cdot a_1 = 5 \text{ кН} \cdot \text{м}^2; \quad z''_{c1} = 0,5 a_1;$$

$$\omega'_2 = \frac{q a_2^3}{12} = \frac{10 \cdot 8}{12} = 6,67 \text{ кН} \cdot \text{м}^2 \text{ (1/, стр.442);}$$

$$z'_{c2} = 0,5 a_2;$$

$$\omega''_2 = 0,5 \cdot 10 \cdot a_2 = 0,5 \cdot 10 \cdot 2 = 10 \text{ кН} \cdot \text{м}^2;$$

$$z''_{c2} = \frac{2}{3} a_2.$$

- Определяем ординаты на единичной эпюре под центрами тяжести простых составляющих отдельных участков грузовой эпюры. Для определения ординат используем подобие треугольников, у которых отношения катетов равны (см. рис. 20, ε).

$$\frac{2}{y'_2} = \frac{a_2}{z'_{c2}} \Rightarrow y'_2 = \frac{2 \cdot z'_{c2}}{a_2} = \frac{2 \cdot 0,5 a_2}{a_2} = 1 \text{ м};$$

$$\frac{2}{y''_2} = \frac{a_2}{z''_{c2}} \Rightarrow y''_2 = \frac{2 \cdot z''_{c2}}{a_2} = \frac{2 \cdot (2/3) a_2}{a_2} = \frac{4}{3} \text{ м.}$$

Аналогично:

$$y'_1 = 2 + \frac{1}{3} = \frac{7}{3} \text{ м}, \quad y''_1 = 2 + \frac{1}{2} = \frac{5}{2} \text{ м.}$$

- Записываем формулу Верещагина для рассматриваемой задачи. При этом учитываем: если грузовая и единичная эпюры на участке имеют одинаковый знак, то произведение $\omega \cdot y$ положительно, если разный знак – отрицательно.

Если общий вид формулы Верещагина: $\Delta = \sum_{i=1}^n \frac{\omega_i y_i}{(EI_x)_i}$, то для рассматриваемой задачи она принимает вид:

$$\Delta_B = \frac{1}{EI_x} (\omega'_1 \cdot y'_1 + \omega''_1 \cdot y''_1 + \omega'_2 \cdot y'_2 + \omega''_2 \cdot y''_2) = \frac{1}{EI_x} \left(2,5 \cdot 2 \frac{1}{3} + 5 \cdot 2 \frac{1}{2} + 6,67 \cdot 1 + 10 \cdot \frac{4}{3} \right),$$

$$\Delta_B = \frac{38,03}{EI_x}.$$

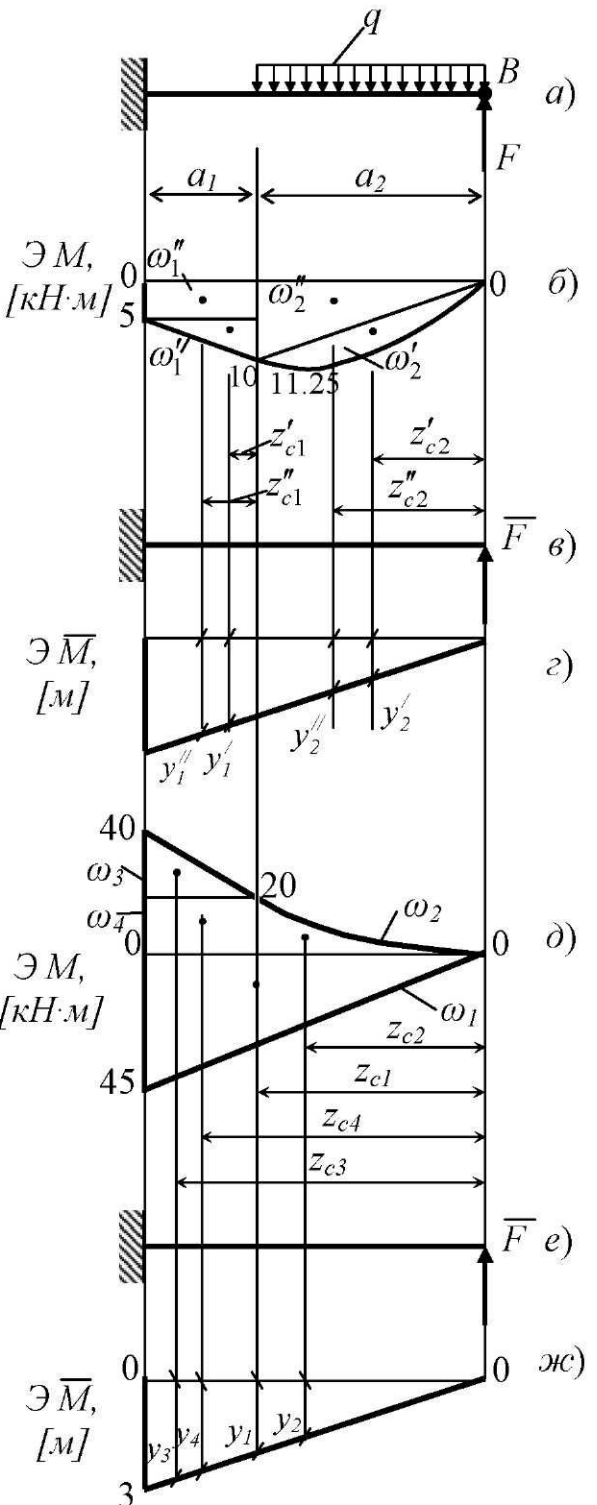


Рис. 24

Положительное значение Δ_B указывает, что перемещение конца консоли направлено в сторону действия единичной нагрузки \bar{F} .

- Можно воспользоваться иным подходом для решения поставленной задачи. Ввиду того, что грузовая эпюра изгибающих моментов имеет сложные очертания, её можно «расслоить», то есть построить эпюру моментов от каждой нагрузки в отдельности (рис. 24, д).

Тогда

$$\omega_1 = \frac{l}{2} 45 \cdot 3 = 67,5 \text{ кН} \cdot \text{м}^2; \quad z_{c1} = \frac{2}{3}(a_1 + a_2) = \frac{2}{3} 3 = 2 \text{ м}; \quad y_1 = \frac{2}{3} 3 = 2 \text{ м};$$

$$\omega_2 = \frac{l}{3} 20 \cdot 2 = 13,33 \text{ кН} \cdot \text{м}^2; \quad z_{c2} = \frac{3}{4} a_2 = \frac{3}{4} 2 = 1,5 \text{ м}; \quad y_2 = \frac{3}{4} 2 = \frac{3}{2} \text{ м};$$

$$\omega_3 = \frac{l}{2} (40 - 20) \cdot 1 = 10 \text{ кН} \cdot \text{м}^2; \quad z_{c3} = a_2 + \frac{2}{3} a_1 = 2 + \frac{2}{3} 1 = 2,7 \text{ м}; \quad y_3 = 2 + \frac{2}{3} = \frac{8}{3} \text{ м};$$

$$\omega_4 = 20 \cdot 1 = 20 \text{ кН} \cdot \text{м}; \quad z_{c4} = a_2 + \frac{1}{2} a_1 = 2 + 0,5 = 2,5 \text{ м}; \quad y_4 = 2 + \frac{1}{2} = \frac{5}{2} \text{ м}.$$

$$\begin{aligned} \Delta_B &= \frac{l}{EI_X} (\omega_1 \cdot y_1 - \omega_2 \cdot y_2 - \omega_3 \cdot y_3 - \omega_4 \cdot y_4) = \\ &= \frac{l}{EI_X} (67,5 \cdot 2 - 13,33 \cdot 1,5 - 10 \cdot 2,7 - 20 \cdot 2,5) = \frac{38,34}{EI_X} \end{aligned}$$

Полученный результат отличается от предыдущего на 0,8%, что лежит в пределах допустимой погрешности. При решении можно воспользоваться любым удобным для студента подходом.

Задача 6

Условия задачи см. в практической части задания.

Исходные данные. Короткая колонна, поперечное сечение которой изображено на рис. 25, сжимается продольной силой $F=200 \text{ кН}$, приложенной в точке K . Размеры сечения $a=40 \text{ см}$, $b=16 \text{ см}$.

Решение.

1. Определение координат центра тяжести сечения.

Поперечное сечение колонны имеет ось симметрии X_c , следовательно центр тяжести лежит на этой оси и для отыскания координаты x_c относительно вспомогательной оси Y_o (см. рис. 25) сложное сечение разбиваем на три прямоугольника

$$x_c = \frac{\sum S_{y_0}}{\Sigma A} = \frac{A_1 \cdot x_1 + A_2 \cdot x_2 + A_3 \cdot x_3}{A_1 + A_2 + A_3} = \frac{80 \cdot 16 \cdot 80 + 80 \cdot 32 \cdot 40 + 80 \cdot 16 \cdot 80}{80 \cdot 16 + 80 \cdot 32 + 80 \cdot 16} = 60 \text{ см}$$

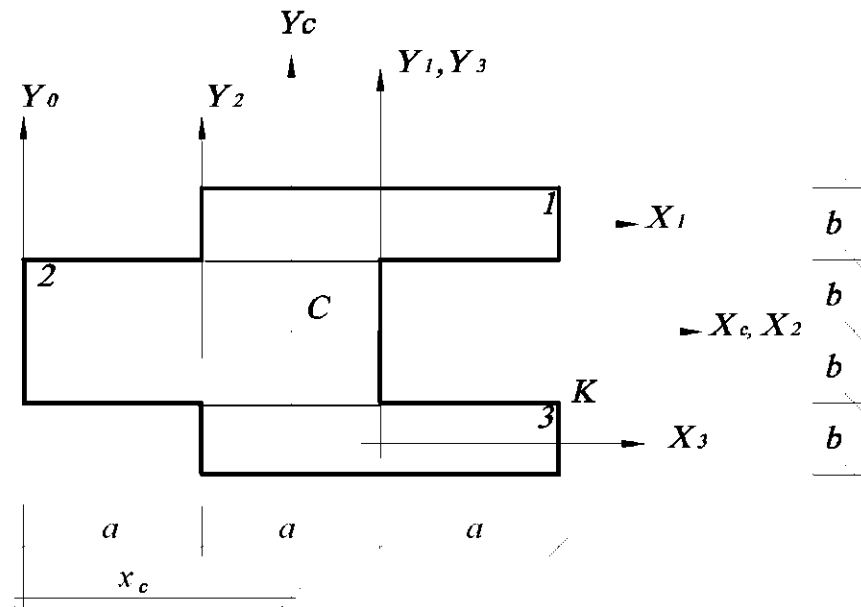


Рис. 25

2. Геометрические характеристики сечения.

Для вычисления главных центральных моментов инерции воспользуемся зависимостью между моментами инерции при параллельном переносе осей. (подробнее см. задачу 3).

$$I_{x_c} = \sum (I_{x_i} + y_{c_i}^2 A_i) = \left(\frac{80 \cdot 16^3}{12} + 24^2 \cdot 80 \cdot 16 \right) \cdot 2 + \frac{80 \cdot 32^3}{12} = 1747626 \text{ см}^4,$$

$$I_{y_c} = \sum (I_{y_i} + x_{c_i}^2 \cdot A_i) = \left(\frac{16 \cdot 80^3}{12} + 20^2 \cdot 16 \cdot 80 \right) \cdot 2 + \left(\frac{32 \cdot 80^3}{12} + 20^2 \cdot 32 \cdot 80 \right) = 4778667 \text{ см}^4.$$

Определяем квадраты радиусов инерции

$$i_x^2 = \frac{I_{x_c}}{A} = \frac{1747626}{5120} = 341,3 \text{ см}^2$$

$$i_y^2 = \frac{I_{y_c}}{A} = \frac{4778667}{5120} = 933,3 \text{ см}^2$$

Координаты точки приложения силы F

$$x_f = 60 \text{ см}, \quad y_f = -16 \text{ см}$$

3. Положение нулевой линии

$$x_o = -\frac{i_y^2}{x_f} = -\frac{933,3}{60} = -15,55 \text{ см}$$

$$y_o = -\frac{i_x^2}{y_f} = -\frac{341,3}{-16} = 21,33 \text{ см}$$

По найденным отрезкам, отсекаемым на осях координат проводим нулевую линию (рис. 26).

4. Определение наибольших сжимающих и растягивающих напряжений. Эпюра σ .

Наиболее удаленные от нулевой линии точки: $B (-60; 16)$ и $D (60; -32)$. Напряжения в этих опасных точках с координатами x_{dan} , y_{dan} не должны превосходить соответствующего расчетного сопротивления

$$\sigma = -\frac{N}{A} \left(I + \frac{y_f \cdot y_{dan}}{i_x^2} + \frac{x_f \cdot x_{dan}}{i_y^2} \right) \leq R .$$

Растягивающее напряжение

$$\begin{aligned} \sigma_B &= -\frac{200 \cdot 10^3}{0,512} \left(I + \frac{(-16) \cdot 10^{-2} \cdot 16 \cdot 10^{-2}}{341,3 \cdot 10^{-4}} + \frac{60 \cdot 10^{-2} \cdot (-60) \cdot 10^{-2}}{933,3 \cdot 10^{-4}} \right) = \\ &= 1,4 \cdot 10^6 \text{ Па} = 1,4 \text{ МПа} < R_t = 3 \text{ МПа} . \end{aligned}$$

Сжимающее напряжение

$$\begin{aligned} \sigma_D &= -\frac{200 \cdot 10^3}{0,512} \left(I + \frac{(-16) \cdot 10^{-2} \cdot (-32) \cdot 10^{-2}}{341,3 \cdot 10^{-4}} + \frac{60 \cdot 10^{-2} \cdot 60 \cdot 10^{-2}}{933,3 \cdot 10^{-4}} \right) = \\ &= -2,48 \text{ МПа} < R_c = 30 \text{ МПа} . \end{aligned}$$

Прочность колонны обеспечена.

По результатам расчета напряжений σ_B и σ_D на рис. 26 построена эпюра σ .

5. Вычисление расчетной несущей способности колонны F_{max} .

Поскольку при заданном значении сжимающей силы прочность материала колонны существенно недоиспользована, найдем максимальное значение внешней нагрузки, приравнивая наибольшие напряжения σ_t и σ_c расчётным сопротивлениям.

$$F_{max} \leq \frac{R_t \cdot A}{I + \frac{y_f \cdot y_B}{i_x^2} + \frac{x_f \cdot x_B}{i_y^2}} = \frac{3 \cdot 10^6 \cdot 0,512}{3,607} = 425,8 \text{ кН}$$

$$F_{max} \leq \frac{R_c \cdot A}{I + \frac{y_f \cdot y_D}{i_x^2} + \frac{x_f \cdot x_D}{i_y^2}} = \frac{30 \cdot 10^6 \cdot 0,512}{6,357} = 2416 \text{ kH}$$

Окончательно выбираем меньшее значение $F_{max}=425,8 \text{ kH}$, обеспечивающее прочность как растянутой, так и сжатой зон сечения.

6. Построение ядра сечения.

Чтобы получить очертание ядра сечения, необходимо рассмотреть все возможные положения касательных к контуру сечения и, предполагая, что эти касательные являются нулевыми линиями, вычислить координаты граничных точек ядра относительно главных центральных осей сечения. Соединяя затем эти точки, получим очертание ядра сечения.

Касательная 1-1: $y_o = 32 \text{ см}$,

$$y_f = -\frac{i_x^2}{y_o} = -\frac{341,3}{32} = -10,66 \text{ см}.$$

$$\text{Касательная 2-2: } x_o = 60 \text{ см}, \quad x_f = -\frac{i_y^2}{x_o} = -\frac{933,3}{60} = -15,55 \text{ см}.$$

$$\text{Касательная 3-3: } y_o = -32 \text{ см}, \quad y_f = -\frac{341,3}{(-32)} = 10,66 \text{ см}.$$

$$\text{Касательная 4-4: } \operatorname{tg}\alpha = \frac{16}{40} = 0,4; \quad \alpha = 22^\circ;$$

$$c = \frac{b}{\operatorname{tg}\alpha} = \frac{16}{0,4} = 40 \text{ см}; \quad x_o = c + x_c = -40 - 60 = -100 \text{ см};$$

$$d = 20 \cdot \operatorname{tg}\alpha = 20 \cdot 0,4 = 8 \text{ см}; \quad y_o = -32 - 8 = -40 \text{ см};$$

$$x_f = -\frac{933,3}{(-100)} = 9,33 \text{ см};$$

$$y_f = -\frac{341,1}{(-40)} = 8,53 \text{ см}.$$

$$\text{Касательная 5-5: } x_o = -60 \text{ см}; \quad x_f = -\frac{933,3}{(-60)} = 15,55 \text{ см}.$$

$$\text{Касательная 6-6: } x_o = -100 \text{ см}; \quad x_f = 9,33 = 15,55 \text{ см};$$

$$y_o = 40 \text{ см}; \quad y_f = -8,53 \text{ см}.$$

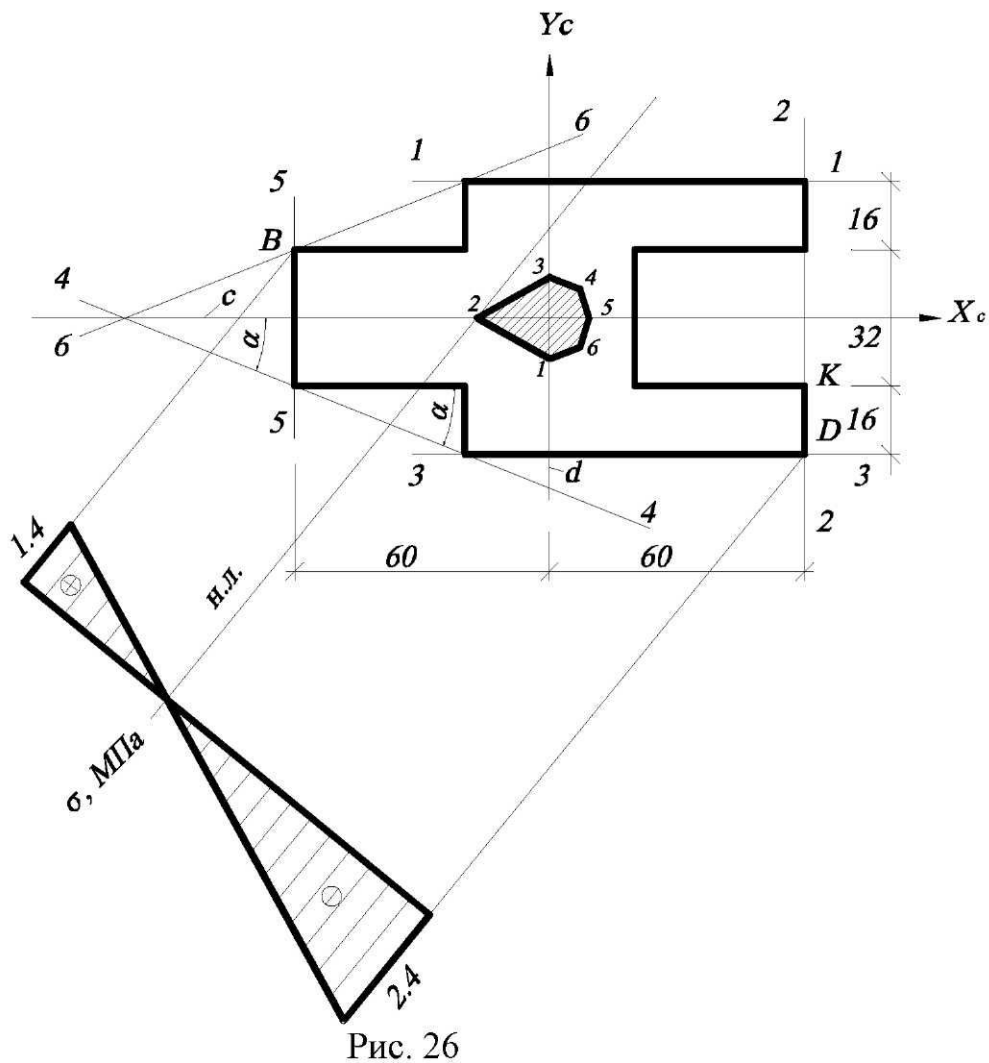
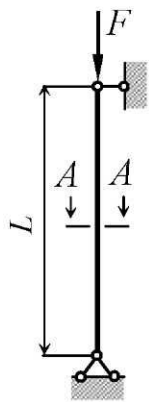


Рис. 26

Задача 7 (рис. 27)

Постановку задачи см. в практической части задания к курсовой работе (задача 7).

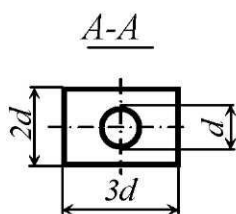


Исходные данные.

$F = 400 \text{ kH}$, $L = 3 \text{ м}$, $R = 160 \text{ MPa}$, $E = 2 \cdot 10^5 \text{ MPa}$, $\mu = 1$ (μ – коэффициент приведенной длины стержня, зависящий от характера закрепления его концов).

Решение.

1. Размеры поперечного сечения стержня определим исходя из условия устойчивости



тогда

$$\sigma = \frac{F}{A} \leq \varphi R, \quad (16)$$

$$A = \frac{F}{\varphi R},$$

где φ – коэффициент снижения расчетного сопротивления материала при продольном изгибе.

Рис. 27

В расчётной формуле (16) имеются две неизвестные величины – коэффициент φ и искомая площадь A . Поэтому при подборе сечения необходимо использовать метод последовательных приближений.

- Для упрощения расчётов выразим геометрические характеристики сечения через модуль его размеров d .

Минимальный момент инерции (потеря устойчивости происходит в плоскости наименьшей жёсткости) определяется следующим образом:

$$I_{min} = \frac{bh^3}{12} - \frac{\pi d^4}{64} = \frac{3d(2d)^3}{12} - \frac{\pi d^4}{64} = 1,95d^4.$$

Площадь поперечного сечения:

$$A = 2d \cdot 2d - \frac{\pi d^2}{4} = 5,21d^2,$$

отсюда

$$d = 0,44\sqrt{A}. \quad (17)$$

Минимальный радиус инерции:

$$i_{min} = \sqrt{\frac{I_{min}}{A}} = \sqrt{\frac{1,95d^4}{5,21d^2}} = 0,61d$$

$$i_{min} = 0,61d \quad (18)$$

- Приближение 1. В первом приближении коэффициент продольного изгиба обычно принимают $\varphi_1 = 0,5$, тогда

$$A_1 = \frac{F}{\varphi_1 R} = \frac{400 \cdot 10^3}{0,5 \cdot 160 \cdot 10^6} = 0,005 \text{ м}^2.$$

Используя соотношения (17) и (18), получим:

$$d_1 = 0,44\sqrt{0,005} = 3,1 \cdot 10^{-2} \text{ м} = 3,1 \text{ см},$$

$$i_{min1} = 0,61d_1 = 0,61 \cdot 3,1 \cdot 10^{-2} = 1,89 \cdot 10^{-2} \text{ м}.$$

Расчётная гибкость колонны:

$$\lambda_1 = \frac{\mu L}{i_{min1}} = \frac{1 \cdot 3}{1,89 \cdot 10^{-2}} = 159.$$

По таблице (/1/, табл. 13.1, с. 493) определяем значение коэффициента φ'_1 , соответствующего гибкости $\lambda_1 = 159$.

$$\lambda = 150 \rightarrow \varphi = 0,32;$$

$$\lambda = 160 \rightarrow \varphi = 0,29.$$

Путём линейной интерполяции:

$$\varphi'_1 = 0,32 - \frac{0,32 - 0,29}{10} \cdot 9 = 0,293.$$

Проверим выполнение условия устойчивости в первом приближении.

$$\sigma_1 = \frac{F}{A_1} = \frac{400 \cdot 10^3}{0,005} = 80000 \cdot 10^3 \text{ Па} = 80 \text{ МПа} > \varphi'_1 R = 0,293 \cdot 160 = 46,88 \text{ МПа}.$$

Перенапряжение составляет:

$$\Delta\sigma_1 = \frac{\sigma_1 - \varphi'_1 R}{\varphi'_1 R} \cdot 100\% = \frac{80 - 46,88}{46,88} \cdot 100\% = 70,65\%,$$

что недопустимо. Следовательно, необходимо уточнение требуемых размеров сечения.

Приближение 2. Для ускорения процесса подбора за новое значение коэффициента φ'_2 принимаем среднее арифметическое первых двух

$$\varphi_2 = \frac{\varphi_1 + \varphi'_1}{2} = \frac{0,32 + 0,293}{2} = 0,3065.$$

Тогда площадь сечения:

$$A_2 = \frac{F}{\varphi_2 R} = \frac{400 \cdot 10^3}{0,3065 \cdot 160 \cdot 10^6} = 0,0063 \text{ м}^2.$$

Диаметр: $d_2 = 0,44 \sqrt{0,0063} = 3,5 \cdot 10^{-2} \text{ м} = 3,5 \text{ см},$

радиус инерции: $i_{min2} = 0,61 d_2 = 0,61 \cdot 3,5 \cdot 10^{-2} = 2,135 \cdot 10^{-2} \text{ м}.$

Гибкость колонны:

$$\lambda_2 = \frac{\mu L}{i_{min2}} = \frac{1 \cdot 3}{2,135 \cdot 10^{-2}} = 140,5.$$

Определяем значение коэффициента φ'_2 , соответствующего этой гибкости:

$$\lambda = 140 \rightarrow \varphi = 0,36;$$

$$\lambda = 150 \rightarrow \varphi = 0,32;$$

$$\varphi'_2 = 0,36 - \frac{0,36 - 0,32}{10} \cdot 0,5 = 0,358.$$

Проверим выполнение условия устойчивости. Рабочие напряжения

$$\sigma_2 = \frac{F}{A_2} = \frac{400 \cdot 10^3}{0,0063} = 63492 \cdot 10^3 \text{ Па} = 63,492 \text{ МПа}.$$

Расчётное сопротивление, гарантирующее устойчивость прямолинейной формы равновесия

$$\varphi'_2 R = 0,358 \cdot 160 = 57,28 \text{ МПа}$$

$$\sigma_2 > \varphi'_2 R \quad (63,492 \text{ МПа} > 57,28 \text{ МПа}).$$

В этом случае перенапряжение составляет:

$$\Delta\sigma_2 = \frac{\sigma_2 - \varphi'_2 R}{\varphi'_2 R} \cdot 100\% = \frac{63,492 - 57,28}{57,28} \cdot 100\% = 10,84\%,$$

что опять недопустимо, так как перенапряжение превышает 5%. Следовательно, необходимо третье приближение.

- *Приближение 3.* В третьем приближении коэффициент продольного изгиба:

$$\varphi_3 = \frac{\varphi_3 + \varphi'_3}{2} = \frac{0,396 + 0,358}{2} = 0,377,$$

после чего повторяем расчётный цикл.

Площадь сечения:

$$A_3 = \frac{F}{\varphi_3 R} = \frac{400 \cdot 10^3}{0,377 \cdot 160 \cdot 10^6} = 0,0066 \text{ м}^2.$$

$$\text{Диаметр: } d_3 = 0,44 \sqrt{0,0066} = 3,6 \cdot 10^{-2} \text{ м} = 3,6 \text{ см};$$

$$\text{радиус инерции: } i_{min3} = 0,61 d_3 = 0,61 \cdot 3,6 \cdot 10^{-2} = 2,196 \cdot 10^{-2} \text{ м}.$$

Гибкость колонны:

$$\lambda_3 = \frac{\mu L}{i_{min3}} = \frac{1 \cdot 3}{2,196 \cdot 10^{-2}} = 136,6.$$

Определяем значение коэффициента φ'_3 , соответствующего этой гибкости:

$$\lambda = 130 \rightarrow \varphi = 0,40;$$

$$\lambda = 140 \rightarrow \varphi = 0,36;$$

$$\varphi'_3 = 0,40 - \frac{0,40 - 0,36}{10} \cdot 6,6 = 0,374.$$

Рабочие напряжения третьего приближения:

$$\sigma_3 = \frac{F}{A_3} = \frac{400 \cdot 10^3}{0,0066} = 60606 \cdot 10^3 \text{ Па} = 60,606 \text{ МПа}.$$

Расчётное сопротивление при расчёте на устойчивость

$$\varphi'_3 R = 0,374 \cdot 160 = 59,84 \text{ МПа}.$$

$$\sigma_3 > \varphi'_3 R \quad (60,606 \text{ МПа} > 59,84 \text{ МПа}).$$

Перенапряжение материала составляет:

$$\Delta\sigma_3 = \frac{\sigma_3 - \varphi'_3 R}{\varphi'_3 R} \cdot 100\% = \frac{60,606 - 59,84}{59,84} \cdot 100\% = 1,28\% < 5\%.$$

что допустимо. Окончательно принимаем:

$$d = 0,036 \text{ м} = 36 \text{ мм}$$

следовательно, сечение имеет размеры $72 \times 108 \text{ см}$,

$$I_{min} = 1,95 d^4 = 1,95 \cdot 3,6^4 = 327,5 \text{ см}^4,$$

$$\lambda = 136,6.$$

2. Находим величину критической силы.

Так как $\lambda > \lambda_{pred}$, то есть $136,6 > 100$, то используем формулу Эйлера для определения критической силы:

$$F_{kp} = \frac{\pi^2 EI_{min}}{(\mu L)^2} = \frac{\pi^2 \cdot 2 \cdot 10^{11} \cdot 327,5 \cdot 10^{-8}}{(1 \cdot 3)^2} = 718,29 \cdot 10^3 \text{ Н} = 718,29 \text{ кН}.$$

3. Коэффициент запаса устойчивости.

$$k_y = \frac{F_{kp}}{F} = \frac{718,29}{400} = 1,8.$$

Задача 8

Постановку задачи см. в практической части задания к курсовой работе (задача 8).

Решение типовой задачи см. /1/ пример 14.2.–С. 537–540.

БИБЛИОГРАФИЧЕСКИЙ СПИСОК

1. Дарков А.В., Шпиро Г.С. Сопротивление материалов. / А.В. Дарков, Г.С. Шпиро. Сопротивление материалов – М.: Высш. школа, 1989. – 624 с.
2. Александров А.В., Потапов В.Д., Державин Б.П. Сопротивление материалов / А.В. Александров, В.Д. Потапов, Б.П. Державин. Сопротивление материалов – М.: Высш. школа, 2000. – 560 с.
3. Варданян Г.С., Атаров Н.М., Горшков А.А. Сопротивление материалов. / Г.С. Варданян, Н.М. Атаров, А.А. Горшков. Сопротивление материалов. – М.: ИНФРА-М, 2003. – 480 с.
4. Семенов В.В. Сопротивление материалов. Курсовые и расчётно-проектировочные работы. / В.В. Семенов. Сопротивление материалов. Курсовые и расчетно-проектировочные работы. Учеб. пособие. – М.: АСВ, 2004. – 128 с.